

## บทที่ 2

# ทฤษฎีที่เกี่ยวข้องในการออกแบบและวิเคราะห์การรับส่งสัญญาณพัลส์ สำหรับระบบสื่อสารไร้สายอัลตราไวด์แบนด์

### 2.1 กล่าวนำ

เนื่องจากปัจจุบันเทคโนโลยีการสื่อสารอัลตราไวด์แบนด์นั้น เป็นเทคโนโลยีการสื่อสารข้อมูลรูปแบบใหม่ที่ถูกนำมาใช้ประโยชน์ในเชิงพาณิชย์มากขึ้น จึงจำเป็นอย่างยิ่งที่จะต้องมีการศึกษารูปแบบทางคณิตศาสตร์โดยพื้นฐานสำหรับการรับส่งสัญญาณและทฤษฎีที่เกี่ยวข้องกับหลักการทำงานของการรับส่งสัญญาณรวมถึงการประยุกต์ใช้งาน ซึ่งเทคโนโลยีการสื่อสารอัลตราไวด์แบนด์เหมือนกับเทคโนโลยีการสื่อสารไร้สายรูปแบบอื่น ๆ เนื่องจากเมื่อมีการนำมาใช้งานแล้ว จำเป็นต้องมีการวิจัยและพัฒนาประสิทธิภาพให้ดีขึ้น โดยระบบการสื่อสารอัลตราไวด์แบนด์มีส่วนประกอบหลักสำคัญสองส่วน คือ ส่วนของสายอากาศแบบแบนด์กว้าง และวงจรกำเนิดสัญญาณพัลส์สำหรับเครื่องรับส่งของเทคโนโลยีการสื่อสารอัลตราไวด์แบนด์ ซึ่งเนื้อหาที่สำคัญในบทนี้จะกล่าวถึงประวัติความเป็นมาของเทคโนโลยีการสื่อสารอัลตราไวด์แบนด์ โครงสร้างของเทคโนโลยีการสื่อสารอัลตราไวด์แบนด์ ทฤษฎีเบื้องต้นในการวิเคราะห์และพิจารณารูปแบบของสัญญาณที่ใช้สำหรับเทคโนโลยีการสื่อสารอัลตราไวด์แบนด์ ทฤษฎีของสายอากาศ ซึ่งประกอบด้วยหลักการต่าง ๆ ที่ใช้ในการวิเคราะห์คุณสมบัติของสายอากาศ ทฤษฎีสายอากาศแบบไมโครสตริปแพตช์ รวมถึงทฤษฎีต่าง ๆ ที่เกี่ยวข้องในการออกแบบวงจรกำเนิดสัญญาณพัลส์ ได้แก่ โครงสร้างของสายนำสัญญาณแบบไมโครสตริป ค่าคงตัวไดอิเล็กตริกประสิทธิผล และวิธีการกำเนิดสัญญาณพัลส์

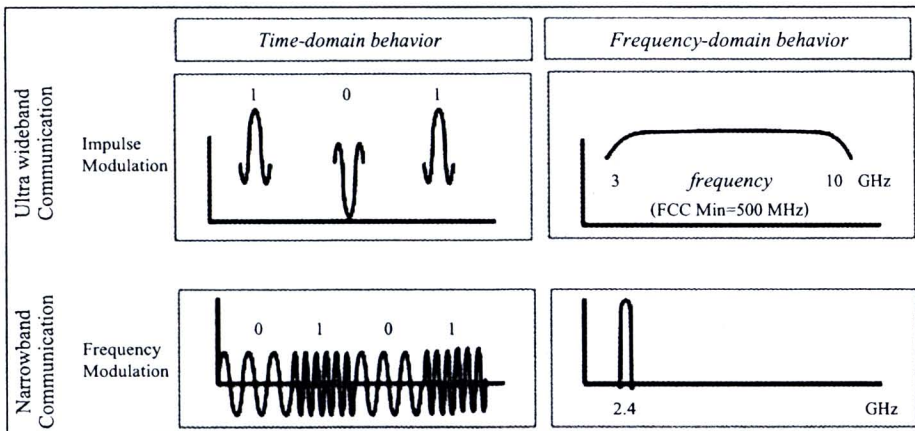
### 2.2 ความเป็นมาของเทคโนโลยีการสื่อสารอัลตราไวด์แบนด์

ในอดีตที่ผ่านมาเทคโนโลยีอัลตราไวด์แบนด์ถูกพัฒนาขึ้นมาเพื่อใช้เป็นเครื่องมือของทางการทหาร ซึ่งในปัจจุบันมีผู้ใช้และผู้ให้บริการด้านอิเล็กทรอนิกส์และการสื่อสารจำนวนมากที่มีความสนใจเกี่ยวกับเทคโนโลยีอัลตราไวด์แบนด์ เนื่องจากจุดเด่นที่สำคัญของเทคโนโลยีการสื่อสารอัลตราไวด์แบนด์ คือ เป็นระบบการสื่อสารที่มีต้นทุนต่ำ ใช้กำลังงานในระดับต่ำ และมีอัตราเร็วของการรับส่งข้อมูลสูงมาก (Ghavami, Michael, and Kohno, 2007; Roberto and Anuj, 2006) และนอกจากนี้ยังมีความสามารถในการบอกตำแหน่งที่แม่นยำสำหรับการประยุกต์ใช้งานที่เกี่ยวข้องกับการบอกพิกัดตำแหน่ง โดยเทคโนโลยีอัลตราไวด์แบนด์นี้มีการรับส่งสัญญาณที่แตกต่างจาก

เทคโนโลยีแถบความถี่แคบ (narrowband) เนื่องจากไม่ได้มีการแพร่กระจายสัญญาณในลักษณะของการแบ่งแยกความถี่ แต่เทคโนโลยีอัลตราไวด์แบนด์จะมีการแพร่กระจายสัญญาณพัลส์ตลอดช่วงความถี่ที่มีแบนด์วิธที่กว้างมาก โดยการรับส่งสัญญาณข้อมูลรูปแบบเดิมจะถูกแทนด้วยสัญญาณพัลส์ ที่มีการรับส่งสัญญาณข้อมูลในลักษณะของขบวนพัลส์จำนวนมากต่อวินาที โดยพัลส์แต่ละลูกนั้นจะเป็นพัลส์ที่มีความกว้างอยู่ในระดับพิโกวินาที ( $1 \times 10^{-12}$  วินาที) และมีระดับของสัญญาณใกล้เคียงกับสัญญาณรบกวนพื้นหลัง (background noise) เนื่องจากพัลส์ที่ส่งออกไปนั้นมีกำลังส่งต่ำมากถึงระดับนาโนวัตต์ (Ghavami, Michael, and Kohno, 2007; Roberto and Anuj, 2006)

โดยเทคโนโลยีอัลตราไวด์แบนด์ถูกมองว่าเป็นเทคโนโลยีใหม่ ซึ่งในความรู้สึกคือ ไม่มีวิธีการใดก่อนหน้านี้ที่สามารถทำงานลักษณะนี้ได้ นั่นคือการทำให้ระบบการสื่อสารไร้สายมีอัตราเร็วในการรับส่งข้อมูลที่สูงในระดับหลายร้อยเมกะบิตต่อวินาที อุปกรณ์การสื่อสารมีขนาดเล็ก ใช้กำลังงานส่งในระดับต่ำมาก และสามารถนำไปประยุกต์ใช้งานกับอุปกรณ์อิเล็กทรอนิกส์ได้อย่างกว้างขวาง แต่อย่างไรก็ตามเทคโนโลยีอัลตราไวด์แบนด์ยังนับว่าเป็นเทคโนโลยีใหม่สำหรับการนำมาใช้งานในเชิงพาณิชย์ แต่เทคนิควิธีที่ค้นพบและหลักการที่นำมาใช้นั้นไม่ใช่ของใหม่ อย่งไรก็ตามรูปแบบการสื่อสารไร้สายในปัจจุบันยังคงมีวิธีการรับส่งสัญญาณพื้นฐานที่เป็นคลื่นรูปแบบไซน์ เนื่องจากคลื่นแม่เหล็กไฟฟ้าที่เป็นคลื่นรูปแบบไซน์นั้นมีความเป็นสากลไปแล้ว สำหรับการติดต่อสื่อสารด้วยคลื่นวิทยุ แต่เทคโนโลยีการสื่อสารอัลตราไวด์แบนด์นี้เป็นพื้นฐานของการรับส่งสัญญาณข้อมูลด้วยสัญญาณพัลส์ ซึ่งเป็นจุดเริ่มต้นสำหรับการเปลี่ยนแปลงจากระบบการสื่อสารด้วยสัญญาณรูปแบบคลื่นไซน์ไปเป็นการสื่อสารด้วยสัญญาณพัลส์แทน โดยเทคโนโลยีอัลตราไวด์แบนด์ได้เข้ามามีบทบาทในการเปลี่ยนแปลงและพัฒนาการสื่อสารข้อมูลไร้สายระยะใกล้ ที่ต้องการความเร็วและแบนด์วิธสำหรับรับส่งข้อมูลที่สูงมาก เนื่องจากเทคโนโลยีการสื่อสารอัลตราไวด์แบนด์มีการรับส่งสัญญาณในลักษณะของพัลส์ที่ถูกบีบอัดในโดเมนเวลามากกว่าจะเป็นรูปแบบของสัญญาณที่เป็นคลื่นไซน์ที่ถูกบีบอัดในโดเมนความถี่ เนื่องจากสัญญาณพัลส์ที่มีช่วงเวลาแคบมากระดับพิโกวินาที ในโดเมนเวลาจะมีการแผ่สเปกตรัมที่กว้างมากในโดเมนความถี่ ส่วนลักษณะสัญญาณแบบคลื่นไซน์พื้นฐานแล้วจะมีการขยายในโดเมนเวลา แต่เมื่ออยู่ในโดเมนความถี่แล้วจะเป็นพัลส์ที่แคบมาก โดยความแตกต่างของการรับส่งสัญญาณทั้งสองรูปแบบนั้นสามารถแสดงได้ดังรูปที่ 2.1 ซึ่งเทคโนโลยีอัลตราไวด์แบนด์เป็นเทคโนโลยีการสื่อสารที่มีการครอบครองแบนด์วิธมากกว่า 500 MHz หรือมีแบนด์วิธมากกว่า 25% ขึ้นไปของความถี่กลางที่ใช้งาน และระบบที่เป็นการสื่อสารแบบแถบความถี่แคบส่วนใหญ่จะมีการครอบครองแบนด์วิธน้อยกว่า 10% ของความถี่กลาง และมีการรับส่งสัญญาณด้วยกำลังส่งที่สูงมาก ยกตัวอย่าง เช่น ระบบการสื่อสารอัลตราไวด์แบนด์มีการใช้สเปกตรัมทั้งหมดจาก 3.1-10.6 GHz ซึ่งมีการใช้แบนด์วิธมากกว่า 100% ของความถี่กลาง ซึ่งแตกต่างจาก 802.11b ซึ่งเป็นระบบการสื่อสารที่มีความถี่กลาง

อยู่ที่ 2.45 GHz และมีแบนด์วิดท์ใช้งาน 80 MHz ซึ่งระบบการสื่อสารนี้จะมีการครอบครองแบนด์วิดท์เพียง 1% ของความถี่กลาง (Ghavami, Michael, and Kohno, 2007; Ian, Matti, and Jari, 2004)



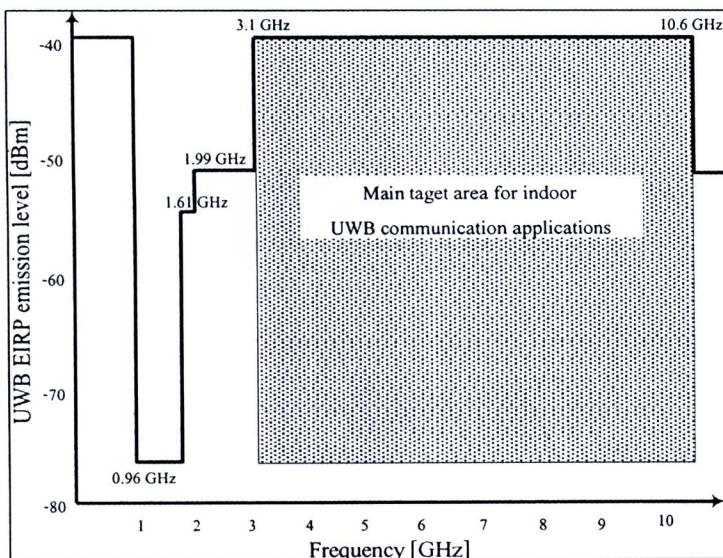
รูปที่ 2.1 เปรียบเทียบลักษณะสัญญาณการสื่อสารระหว่างเทคโนโลยีอัลตราไวด์แบนด์และเทคโนโลยีที่ใช้แถบความถี่แคบทั้งในโดเมนเวลาและโดเมนความถี่

## 2.3 ความรู้เบื้องต้นเกี่ยวกับเทคโนโลยีการสื่อสารอัลตราไวด์แบนด์

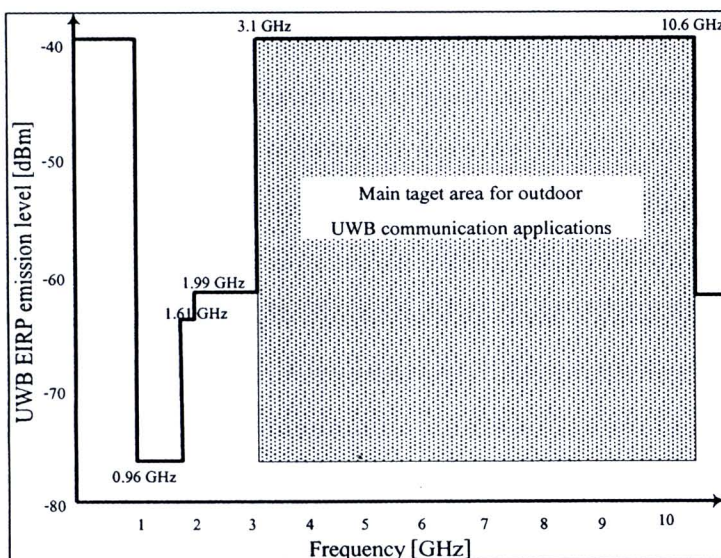
### 2.3.1 นิยามและข้อกำหนดเกี่ยวกับเทคโนโลยีการสื่อสารอัลตราไวด์แบนด์

สำหรับรูปแบบสัญญาณของเทคโนโลยีอัลตราไวด์แบนด์ถูกกำหนดโดยองค์การกิจการโทรคมนาคม (Federal Communications Commission หรือ FCC) ซึ่งมีแบนด์วิดท์ของสัญญาณมากกว่า 500 MHz หรือมากกว่า 25% ที่ค่าของความถี่กลาง และมีการรับส่งสัญญาณในรูปแบบของสัญญาณพัลส์ซึ่งมีความกว้างของพัลส์อยู่ในช่วง 100 ns – 300 ns โดยสัญญาณพัลส์ของเทคโนโลยีการสื่อสารอัลตราไวด์แบนด์ที่ออกมาจากแหล่งกำเนิดนิยมใช้สัญญาณพัลส์ในรูปแบบของ เกาส์เซียนพัลส์ และโมโนไซเคิลพัลส์ ที่มีความหนาแน่นกำลังงานเชิงสเปกตรัมต่ำมาก ซึ่งอุปกรณ์ของระบบการสื่อสารรูปแบบอื่นจะตรวจหาสัญญาณได้ยากเนื่องจากระดับสัญญาณของเทคโนโลยีอัลตราไวด์แบนด์มีความใกล้เคียงกับสัญญาณรบกวนพื้นหลังมาก ดังนั้นสัญญาณของเทคโนโลยีการสื่อสารอัลตราไวด์แบนด์จะมีประสิทธิภาพในเรื่องความปลอดภัยเป็นอย่างดี โดยจะมีการแฝงตัวไปกับสัญญาณรบกวนพื้นหลัง โดยหลังจากที่เทคโนโลยีการสื่อสารอัลตราไวด์แบนด์ได้รับแรงผลักดันจากกิจการโทรคมนาคมของสหรัฐอเมริกาแล้ว จึงได้รับการจัดสรรย่านความถี่ใช้งานโดยไม่ต้องขอมีการอนุญาตของอุปกรณ์สำหรับเทคโนโลยีการสื่อสารอัลตราไวด์แบนด์อยู่ในช่วง 3.1-10.6 GHz โดยมีแบนด์วิดท์ 7.5 GHz ซึ่งมีการแบ่งช่วงสเปกตรัม

ความถี่เทียบกับระดับกำลังงานสำหรับการสื่อสารทั้งภายในอาคารและภายนอกอาคาร ดังแสดงในรูปที่ 2.2 และ รูปที่ 2.3 ตามลำดับ



รูปที่ 2.2 ช่วงสเปกตรัมของความถี่เปรียบเทียบกับระดับพลังงานสำหรับเทคโนโลยีการสื่อสารอัลตราไวด์แบนด์ภายในอาคาร



รูปที่ 2.3 ช่วงสเปกตรัมของความถี่เปรียบเทียบกับระดับพลังงานสำหรับเทคโนโลยีการสื่อสารอัลตราไวด์แบนด์ภายนอกอาคาร

จากข้อกำหนดของ FCC ได้กำหนดช่วงความถี่ใช้งานสำหรับเทคโนโลยีการสื่อสารอัลตราไวด์แบนด์ที่สามารถใช้งานได้ คือช่วงความถี่ที่มีการแผ่กระจายพลังงานออกมาต่ำกว่า -10 dB (Ian, Matti, and Jari, 2004) โดยที่ความถี่ด้านสูงกำหนดเป็น  $f_h$  ความถี่ด้านต่ำกำหนดเป็น  $f_l$  และความถี่ที่มีการแผ่กระจายพลังงานออกมาสูงสุดกำหนดเป็น  $f_m$  โดยที่ความถี่กลางกำหนดเป็น  $f_c$  ซึ่งเป็นค่าเฉลี่ยระหว่างความถี่สูงสุดและความถี่ต่ำสุดแสดงได้ดังสมการ (2.1) มีแบนด์วิดท์ของสัญญาณแสดงได้ดังสมการที่ (2.2) และมีอัตราส่วนของแบนด์วิดท์ ( $FB$ ) แสดงได้ดังสมการ (2.3)

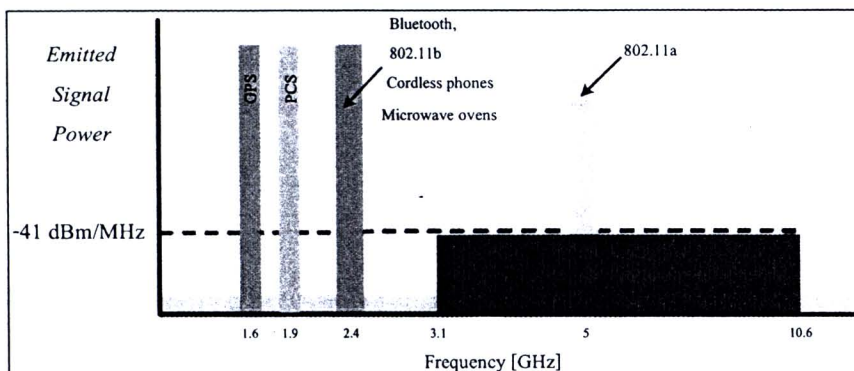
$$f_c = \frac{f_l + f_h}{2} \tag{2.1}$$

$$B = \frac{f_h - f_l}{f_c} \tag{2.2}$$

$$FB = 2 \frac{f_h - f_l}{f_h + f_l} \tag{2.3}$$



จากข้อกำหนดของเทคโนโลยีอัลตราไวด์แบนด์สามารถใช้งานด้วยแบนด์วิดท์ที่กว้างนี้ ส่งผลให้ต้องมีการแผ่กระจายพลังงานของอุปกรณ์การสื่อสารสำหรับเทคโนโลยีอัลตราไวด์แบนด์ในระดับต่ำไม่เกิน -41.25 dBm/MHz (Ghavami, Michael, and Kohno, 2007) เพื่อให้สามารถอยู่ร่วมกับระบบการสื่อสารอื่น ๆ ได้อย่างไม่มีปัญหา แสดงให้เห็นได้ดังรูปที่ 2.4



รูปที่ 2.4 ความหนาแน่นพลังงานเชิงสเปกตรัมของเทคโนโลยีการสื่อสารอัลตราไวด์แบนด์เปรียบเทียบกับเทคโนโลยีการสื่อสารรูปแบบอื่น

สำนักงานคณะกรรมการวิจัยแห่งชาติ  
 ห้องสมุดงานวิจัย  
 วันที่ 0...1... 2555  
 เลขทะเบียน..... 249834  
 เลขเรียกหนังสือ.....

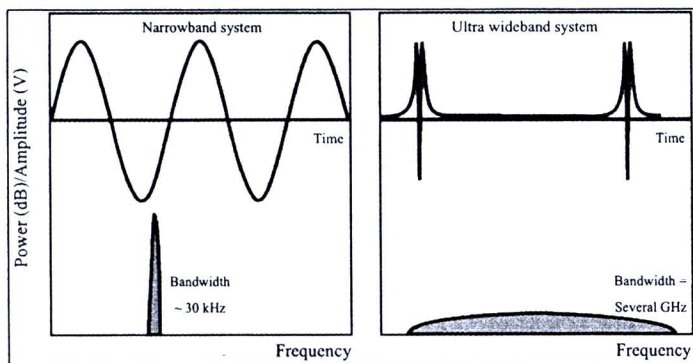
จากข้อกำหนดและกฎเกณฑ์ต่าง ๆ ที่ได้กล่าวมาแล้วการทำงานวิจัยที่เกี่ยวข้องกับเทคโนโลยีการสื่อสารอัลตราไวด์แบนด์นั้น นับว่าเป็นสิ่งที่ท้าทายสำหรับนักวิจัยทุกคนที่ทำการศึกษาวิจัยเกี่ยวข้องกับระบบการสื่อสารของเทคโนโลยีอัลตราไวด์แบนด์ในทุก ๆ ด้าน เนื่องจากเทคโนโลยีการสื่อสารอัลตราไวด์แบนด์นั้น เป็นเทคโนโลยีการสื่อสารรูปแบบใหม่ที่ตั้งที่ได้กล่าวมาแล้วข้างต้น ซึ่งเมื่อมีการนำมาใช้งานแล้วย่อมต้องมีการวิจัยและพัฒนาในทุกด้านที่เกี่ยวข้องกับระบบเพื่อให้ระบบมีประสิทธิภาพมากยิ่งขึ้น โดยเฉพาะในส่วนของสายอากาศและวงจรกำเนิดสัญญาณพัลส์สำหรับเครื่องรับส่งของเทคโนโลยีการสื่อสารอัลตราไวด์แบนด์

### 2.3.2 ข้อเปรียบเทียบระหว่างเทคโนโลยีอัลตราไวด์แบนด์กับเทคโนโลยีแคบ

เทคโนโลยีการสื่อสารอัลตราไวด์แบนด์มีข้อดีหลายประการที่เหนือกว่าเทคโนโลยีการสื่อสารแบบแถบความถี่แคบ โดยที่สัญญาณของเทคโนโลยีการสื่อสารแบบแถบความถี่แคบนั้น ถูกกำหนดด้วยคลื่นแม่เหล็กไฟฟ้าที่มีแบนด์วิดท์น้อยกว่า 10% ของความถี่กลาง แต่สำหรับเทคโนโลยีการสื่อสารอัลตราไวด์แบนด์แล้วสัญญาณจะเป็นคลื่นแม่เหล็กไฟฟ้าที่มีแบนด์วิดท์มากกว่า 25% ของความถี่กลาง นอกจากนี้สัญญาณการสื่อสารสำหรับเทคโนโลยีแบบแถบความถี่แคบนั้นจะมีการมอดูเลชันด้วยคลื่นพาห้ (carrier) ที่เป็นสัญญาณรูปไซน์รวมเข้ากับข้อมูลข่าวสารที่ส่งออกไป ซึ่งเป็นผลจากลักษณะของสัญญาณที่เป็นรูปไซน์และมีการครอบครองแบนด์วิดท์ที่แคบ แต่สำหรับระบบการสื่อสารของเทคโนโลยีอัลตราไวด์แบนด์แล้วสัญญาณจะถูกกำหนดด้วยรูปแบบของพัลส์ ซึ่งเป็นรูปแบบสัญญาณเฉพาะสำหรับเทคโนโลยีการสื่อสารอัลตราไวด์แบนด์ โดยจะมีการพิจารณาถึงรูปแบบและรูปร่างของสัญญาณพัลส์ที่นำมาใช้เท่านั้น ไม่มีการมอดูเลชันด้วยคลื่นพาห้ ซึ่งทำให้ลดความซับซ้อนของระบบลงได้อย่างมาก และถูกรบกวนจากสัญญาณอื่นได้น้อยมาก เนื่องจากโดยส่วนมากแล้วสัญญาณรบกวนที่เกิดขึ้นนั้นจะครอบคลุมเฉพาะช่วงความถี่สเปกตรัมบางส่วนของสัญญาณอัลตราไวด์แบนด์เท่านั้น เช่นในกรณีที่มีสัญญาณรบกวนเข้ามาในระบบก็จะถูกรบกวนในช่วงความถี่แคบ ๆ เท่านั้นเมื่อเทียบกับสัญญาณตลอดช่วงแบนด์วิดท์ที่ใช้ งาน ซึ่งจะไม่ส่งผลกระทบต่อ การสื่อสารของเทคโนโลยีอัลตราไวด์แบนด์ (Ghavami, Michael, and Kohno, 2007)

สำหรับสัญญาณของเทคโนโลยีการสื่อสารอัลตราไวด์แบนด์ในโดเมนเวลาจะเป็นสัญญาณในลักษณะของพัลส์แคบ ๆ ที่ไม่มีความต่อเนื่อง โดยสัญญาณข้อมูลมีพลังงานและคุณสมบัติที่ใกล้เคียงกับสัญญาณรบกวนพื้นหลังมาก และจากสัญญาณข้อมูลมีการใช้แถบความถี่ที่กว้างมากจึงส่งผลให้สัญญาณที่อยู่ในโดเมนความถี่มีความหนาแน่นพลังงานเชิงสเปกตรัมที่ต่ำไปด้วย แต่ถึงอย่างไรก็ตามสัญญาณยังอยู่ในระดับที่มีความเป็นไปได้สำหรับการตรวจจับของอุปกรณ์การสื่อสาร โดยรูปแบบของสัญญาณสำหรับเทคโนโลยีการสื่อสารอัลตราไวด์แบนด์และเทคโนโลยีการสื่อสารแบบแถบความถี่แคบนั้นสามารถแสดงการเปรียบเทียบได้ดังรูปที่ 2.5





รูปที่ 2.5 เปรียบเทียบรูปแบบสัญญาณการสื่อสารของเทคโนโลยีอัลตราไวด์แบนด์และเทคโนโลยีแบบแถบความถี่แคบทั้งในโดเมนเวลาและโดเมนความถี่

### 2.3.3 ข้อดีของเทคโนโลยีอัลตราไวด์แบนด์

ระบบการสื่อสารของเทคโนโลยีอัลตราไวด์แบนด์มีข้อดีมากกว่าระบบการสื่อสารแบบแถบความถี่แคบหลายประการ โดยเทคโนโลยีการสื่อสารอัลตราไวด์แบนด์มีการรับส่งสัญญาณด้วยพัลส์ที่แคบอย่างยิ่ง และมีการใช้พลังงานของระบบต่ำ ซึ่งพลังงานของพัลส์นี้จะมีการแพร่กระจายตลอดย่านความถี่ที่กว้างมาก ซึ่งทนต่อสัญญาณรบกวนสูงมากเนื่องจากสัญญาณรบกวนที่เกิดขึ้นนั้นจะครอบคลุมเฉพาะสเปกตรัมบางส่วนของสัญญาณอัลตราไวด์แบนด์เท่านั้น เช่นในกรณีที่มีสัญญาณรบกวนก็จะถูกรบกวนในช่วงความถี่แคบ ๆ เท่านั้นเมื่อเทียบกับแบนด์วิดท์ที่ใช้ และนอกจากนี้ยังมีผลกระทบจากสัญญาณรบกวนของอุปกรณ์การสื่อสารรูปแบบอื่นน้อยมาก โดยผลจากการที่อุปกรณ์อัลตราไวด์แบนด์ใช้สัญญาณพัลส์ที่แคบอย่างยิ่งในการสื่อสารจึงทำให้ทนต่อสัญญาณรบกวนที่มาจากหลาย ๆ ทิศทาง และสัญญาณของเทคโนโลยีอัลตราไวด์แบนด์นี้จะมีระดับสัญญาณที่ใกล้เคียงกับสัญญาณรบกวนพื้นหลังเป็นอย่างมากจึงไม่ส่งผลกระทบต่ออุปกรณ์การสื่อสารอื่น ๆ เนื่องจากจะถูกมองว่าเป็นสัญญาณรบกวนของระบบการสื่อสารในเทคโนโลยีแบบแถบความถี่แคบ นอกจากนี้อุปกรณ์การสื่อสารสำหรับเทคโนโลยีอัลตราไวด์แบนด์ยังมีการบริโภคพลังงานที่น้อยกว่าเทคโนโลยีการสื่อสารแบบแถบความถี่แคบ เมื่อมีการพิจารณาจากการส่งข้อมูลด้วยอัตราเร็วเท่ากัน ทั้งนี้เนื่องจากอัลตราไวด์แบนด์มีความจุของช่องสัญญาณสูงมาก นอกจากนี้ยังมีข้อดีอื่น ๆ อีกเช่น อุปกรณ์ที่ใช้ในการสื่อสารของเทคโนโลยีอัลตราไวด์แบนด์มีราคาที่ถูกกว่าเนื่องจากอุปกรณ์ไม่จำเป็นต้องมีตัวช่วยขยายสัญญาณและเครื่องกำเนิดสัญญาณจากภายนอกเหมือนกับเทคโนโลยีการสื่อสารแบบแถบความถี่แคบ ซึ่งสำหรับในมุมมองของผู้ใช้และมุมมองของผู้ผลิตแล้วอัตราเร็วในการรับส่งข้อมูลที่สูงนี้เป็นสิ่งที่ดึงดูดความสนใจได้เป็นอย่างมาก เนื่องจากการมีอัตราเร็วในการรับส่งข้อมูลสูงทำให้สามารถนำไปประยุกต์ใช้กับอุปกรณ์ใหม่ ๆ ได้

โดยความได้เปรียบของเทคโนโลยีการสื่อสารอัลตราไวด์แบนด์สามารถอธิบายได้เป็นอย่างดีด้วยสมการค่าความจุของ Shannon ซึ่งสมการนี้เป็นที่คุ้นเคยกับทุกคนที่ทำการศึกษากี่ยวข้องกับทางด้าน การสื่อสาร โทรคมนาคม ความจุเป็นสิ่งสำคัญเนื่องจากความต้องการประยุกต์ใช้งานสำหรับการส่งข้อมูลที่เป็นมัลติมีเดีย ต้องการอัตราเร็วและแบนด์วิดท์ในการรับส่งข้อมูลที่สูงมาก โดยความสัมพันธ์ของ Shannon (Ghavami, Michael, and Kohno, 2007) สามารถแสดงได้ดังสมการ (2.4)

$$C = B \log \left( 1 + \frac{S}{N} \right) \quad (2.4)$$

เมื่อ  $C$  คือความจุสูงสุดของช่องสัญญาณมีหน่วยเป็นบิตต่อวินาที  $B$  คือแบนด์วิดท์ของช่องสัญญาณมีหน่วยเป็นเฮิรตซ์ (hertz)  $S$  คือพลังงานของสัญญาณมีหน่วยเป็นวัตต์ และ  $N$  คือพลังงานของสัญญาณรบกวนมีหน่วยเป็นวัตต์เช่นกัน ซึ่งเมื่อพิจารณาสมการของ Shannon นี้แล้วสามารถอธิบายออกได้สามลักษณะสำหรับการเพิ่มความจุของช่องสัญญาณได้นั้นคือ เราสามารถเพิ่มแบนด์วิดท์ เพิ่มกำลังส่งหรือลดสัญญาณรบกวน ซึ่งค่า  $N/S$  โดยทั่วไปรู่อยู่แล้วคือ อัตราส่วนของกำลังส่งสัญญาณต่อสัญญาณรบกวนในช่องสัญญาณ (signal to noise ratio : SNR) ซึ่งจากสมการที่ (2.4) จะเห็นว่าค่าความจุของช่องสัญญาณจะเพิ่มเป็นเชิงเส้นเมื่อเพิ่มแบนด์วิดท์ แต่จะเพิ่มเป็นลอการิทึมเมื่อทำการเพิ่มในส่วนของ  $N/S$  ช่องสัญญาณของอัลตราไวด์แบนด์นั้น มีแบนด์วิดท์ที่สามารถใช้งานได้อย่างสมบูรณ์และในความเป็นจริงสามารถแลกเปลี่ยนบางส่วนของแบนด์วิดท์ เพื่อทำการลดกำลังส่งของสัญญาณและสัญญาณรบกวนจากแหล่งกำเนิด ดังนั้นจากสมการของ Shannon จะเห็นได้ว่าระบบของเทคโนโลยีอัลตราไวด์แบนด์นั้นมีความจุของช่องสัญญาณสูงมากเมื่อเปรียบเทียบกับ การสื่อสารไร้สายรูปแบบอื่น

#### 2.3.4 การประยุกต์ใช้งานของเทคโนโลยีอัลตราไวด์แบนด์

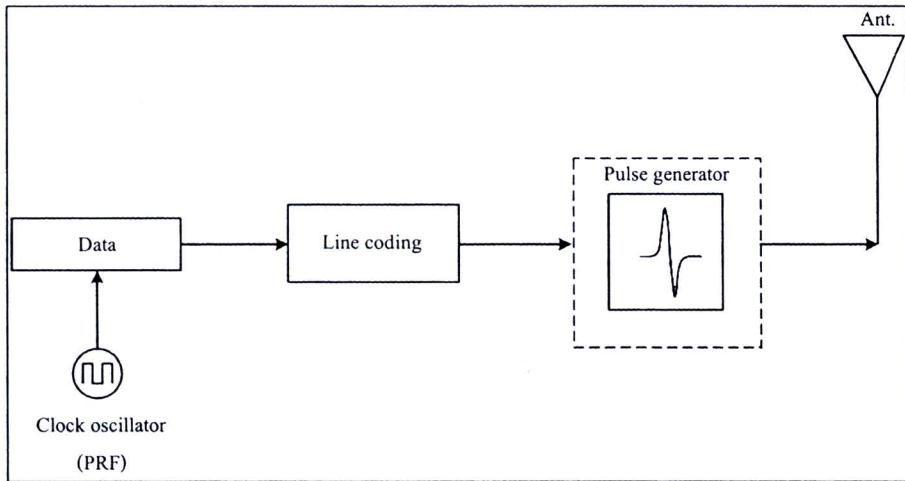
การพัฒนาาระบบการสื่อสารของเทคโนโลยีอัลตราไวด์แบนด์เกิดขึ้นมากมาย เนื่องจากข้อดีที่เห็นอย่างชัดเจนดังที่ได้กล่าวมาแล้วนั้นคือ มีอัตราเร็วในการรับส่งข้อมูลสูงมาก และใช้พลังงานในระดับต่ำ โดยก่อนที่จะมีการกิจการโทรคมนาคมจะมีการประกาศใช้เทคโนโลยีการสื่อสารอัลตราไวด์แบนด์ในเชิงพาณิชย์นั้น เหตุผลหลักที่มีการกีดกันเทคโนโลยีอัลตราไวด์แบนด์ขึ้นมาเพื่อนำมาประยุกต์ใช้กับทางการทหาร ต่อมาเมื่อมีการนำออกมาใช้ประโยชน์ในเชิงพาณิชย์แล้วมุ่งเน้นไปที่การประยุกต์ใช้กับการติดต่อสื่อสารภายในอาคารบ้านเรือนเป็นหลัก เช่น การเชื่อมต่ออุปกรณ์อิเล็กทรอนิกส์ต่าง ๆ ภายในอาคารบ้านเรือนแบบไร้สายด้วยความเร็วสูง ซึ่งเป็นการมุ่งเน้นการเชื่อมต่อด้วยโครงข่ายไร้สายส่วนบุคคล (wireless personal area network หรือ WPAN)

โดยอยู่ภายใต้มาตรฐาน IEEE 802.15.3a และเหมาะสำหรับผู้ใช้ที่ไม่ต้องการให้มีสายสัญญาณเชื่อมต่อจากเครื่องคอมพิวเตอร์ไปยังอุปกรณ์เชื่อมต่อ เช่น เครื่องพิมพ์ จอภาพ เม้าส์ฮาร์ดไดรฟ์ คีย์บอร์ด เป็นต้น รวมถึงเชื่อมต่ออุปกรณ์อื่น ๆ นอกเหนือจากอุปกรณ์คอมพิวเตอร์เข้ามาในโครงข่ายได้ และสามารถโยกย้ายหรือปรับเปลี่ยนโครงข่ายได้โดยง่าย

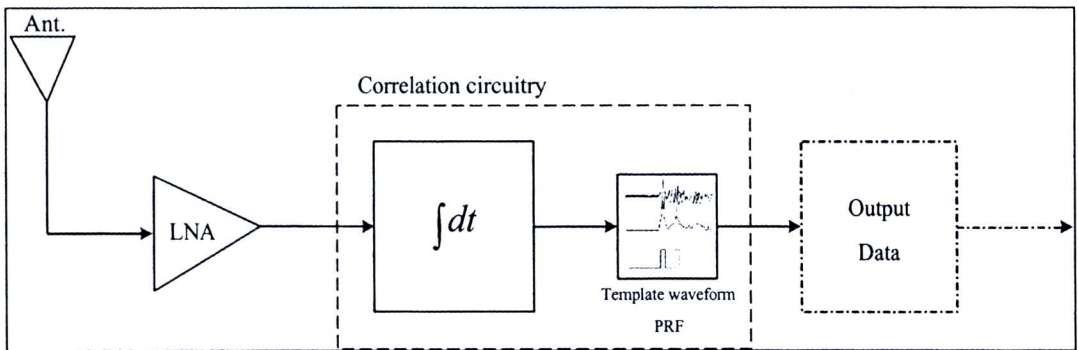
นอกจากการสร้างโครงข่ายเชื่อมต่อสำหรับอุปกรณ์อิเล็กทรอนิกส์ที่ได้กล่าวมาข้างต้นแล้วยังสามารถประยุกต์ใช้ได้กับเทคโนโลยีอื่นอีก เช่น เทคโนโลยีที่ใช้ในการระบุสิ่งต่าง ๆ ด้วยคลื่นความถี่วิทยุ (radio frequency identification หรือ RFID) ได้ เพราะว่ามีข้อดีในเรื่องของการใช้พลังงานในระดับต่ำดังที่ได้กล่าวมาแล้ว ซึ่งทำให้มีระยะเวลาการใช้งานที่ยาวนานด้วยแบตเตอรี่เพียงก้อนเดียว และเป็นการช่วยลดต้นทุนด้วย

## 2.4 โครงสร้างของระบบการสื่อสารอัลตราไวด์แบนด์

ระบบการสื่อสารของเทคโนโลยีอัลตราไวด์แบนด์เป็นการสื่อสารข้อมูลด้วยสัญญาณพัลส์ที่มีการใช้พลังงานในระดับต่ำมาก ซึ่งส่วนมากจะเป็นการประยุกต์ใช้กับระบบสื่อสารภายในอาคารที่มีรัศมีไม่เกิน 10 เมตร โดยการสื่อสารข้อมูลด้วยเทคโนโลยีอัลตราไวด์แบนด์มีองค์ประกอบของระบบรับส่งสัญญาณไม่ยุ่งยากซับซ้อนเหมือนกับระบบการสื่อสารของเทคโนโลยีการสื่อสารแบบแคบในปัจจุบันที่มีการรับส่งสัญญาณด้วยคลื่นไซน์แบบต่อเนื่อง ซึ่งมีองค์ประกอบของระบบรับส่งสัญญาณยุ่งยากซับซ้อนมากกว่า เช่น ภาคส่งจำเป็นต้องมีวงจรถยายกำลัง (power amplifier) วงจรสำหรับการสังเคราะห์ความถี่ (frequency synthesizer) วงจรรวมสัญญาณ (mixer) หรือแม้กระทั่งวงจรถ่ายเฟสล็อกกลุ๊ป (phase locked loop : PLL) ซึ่งประกอบด้วยวงจรถ่ายจับเฟสหรือความถี่ (phase/frequency detector) วงจรกรอง (filter) และวงจรรอสซิลเลเตอร์ที่ควบคุมโดยแรงดัน (voltage controlled oscillator : VCO) ส่วนที่ภาครับนั้นจำเป็นต้องมีวงจรถยายสัญญาณรบกวนต่ำ (low noise amplifier : LNA) เป็นต้น เนื่องจากส่วนประกอบของวงจรที่ได้กล่าวถึงมานี้ล้วนแต่มีความจำเป็นสำหรับเครื่องรับส่งสัญญาณโดยทั่วไป ซึ่งมีความยุ่งยากซับซ้อน อีกทั้งยังยากต่อการพัฒนาออกแบบและสร้างจึงทำให้มีต้นทุนในการผลิตสูง แต่ระบบการรับส่งสัญญาณสำหรับเทคโนโลยีการสื่อสารอัลตราไวด์แบนด์นั้นจะแตกต่างจากเทคโนโลยีการสื่อสารแบบแคบโดยทั่วไปคือ มีการมอดูเลตสัญญาณที่ไม่ยุ่งยากซับซ้อน การออกแบบและพัฒนาเครื่องรับส่งหรือเครื่องรับสัญญาณทำได้ง่าย รวมทั้งยังมีต้นทุนในการผลิตและพัฒนาที่ต่ำกว่ามาก เนื่องจากระบบเครื่องรับส่งสัญญาณของเทคโนโลยีการสื่อสารอัลตราไวด์แบนด์นั้นไม่จำเป็นต้องมีส่วนประกอบต่าง ๆ ของวงจรถ่ายที่ได้กล่าวมาแล้วข้างต้น ซึ่งสามารถแสดงโครงสร้างระบบเครื่องรับเครื่องรับส่งสัญญาณของเทคโนโลยีการสื่อสารอัลตราไวด์แบนด์ได้เป็นแผนภาพอย่างง่ายดังรูปที่ 2.6 และรูปที่ 2.7 (Ian, Matti, and Jari, 2004)



รูปที่ 2.6 ลักษณะโครงสร้างพื้นฐานของเครื่องรับส่งสัญญาณสำหรับเทคโนโลยีอัลตราไวด์แบนด์

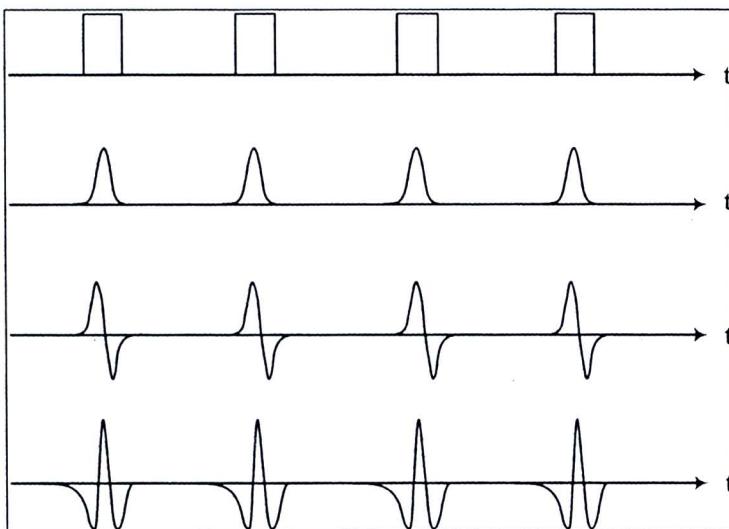


รูปที่ 2.7 ลักษณะโครงสร้างพื้นฐานของเครื่องรับสัญญาณสำหรับเทคโนโลยีอัลตราไวด์แบนด์

โดยจากรูปที่ 2.6 ได้แสดงให้เห็นว่าระบบเครื่องรับส่งสัญญาณของเทคโนโลยีการสื่อสารอัลตราไวด์แบนด์นั้น มีองค์ประกอบหลักที่สำคัญคือ ส่วนทำหน้าที่สร้างสัญญาณข้อมูล ส่วนกำเนิดสัญญาณพัลส์ และสายอากาศภาคส่ง โดยส่วนที่สร้างสัญญาณข้อมูลจะประกอบด้วยวงจรกำเนิดสัญญาณนาฬิกาแบบสี่เหลี่ยม จะเป็นตัวกำหนดความถี่ของสัญญาณนาฬิกาให้กับระบบ (pulse repetition frequency : PRF) ซึ่งการออกแบบวงจรกำเนิดสัญญาณนาฬิกานี้อาจใช้การออกแบบด้วยคริสตัล (crystal) หรืออาจจะใช้การออกแบบด้วยวิธีการอื่น ๆ ส่วนต่อมาคือวงจรกำหนดเวลาดิจิทัลลอจิกซึ่งจะทำหน้าที่ควบคุมเวลาของสัญญาณข้อมูลที่ต้องการส่ง โดยมีการกำหนดสัญญาณข้อมูลที่ต้องการส่งเป็นแบบดิจิทัลและทำการเข้ารหัสสัญญาณ (line coding) หรือทำการมอดูเลตสัญญาณแบบดิจิทัล จากนั้นสัญญาณข้อมูลที่มีมอดูเลตเสร็จแล้วจะเข้าสู่

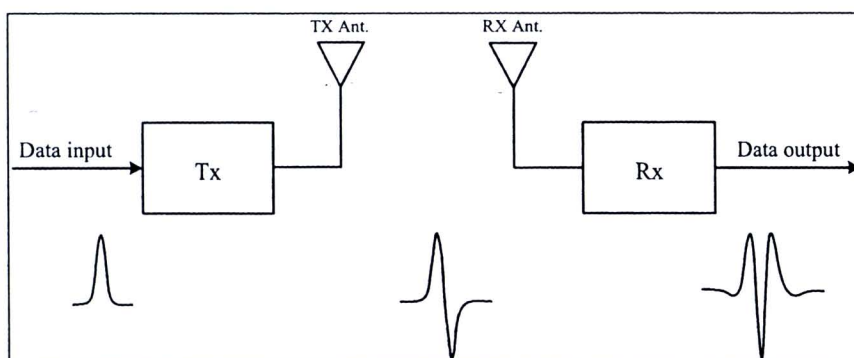
กระบวนการกำเนิดสัญญาณพัลส์สำหรับเทคโนโลยีการสื่อสารอัลตราไวด์แบนด์ เพื่อกระตุ้นสายอากาศของภาคส่งแล้วส่งสัญญาณผ่านช่องทางการสื่อสารไปยังภาครับ โดยที่ภาครับของเทคโนโลยีการสื่อสารอัลตราไวด์แบนด์นั้นเครื่องรับจะต้องมีความเหมาะสมกับสัญญาณจากภาคส่งที่ส่งผ่านช่องทางการสื่อสารมาและมีสัญญาณรบกวนปะปนมาด้วยระหว่างทาง ซึ่งถ้าสัญญาณที่เดินทางมาตกกระทบสายอากาศภาครับมีความเหมาะสมแล้วสัญญาณข้อมูลจะมีขนาดสูงสุดเมื่อเทียบกับสัญญาณรบกวน หรือค่าของอัตราส่วนระหว่างสัญญาณข้อมูลต่อสัญญาณรบกวน (signal to noise ratio : SNR) มีค่ามากนั่นเอง และจากรูปที่ 2.7 ซึ่งเป็นส่วนของภาครับนั้นมีย่อประกอบหลักที่สำคัญคือ วงจรภาคส่วนหน้าและส่วนประมวลผลข้อมูล ซึ่งวงจรภาคส่วนหน้านั้นจะประกอบด้วยส่วนของสายอากาศ ส่วนของวงจรมายสัญญาณรบกวนต่ำ (low noise amplifier : LNA) โดยส่วนของวงจรมายสัญญาณรบกวนต่ำนี้อาจมีหรือไม่มีก็ได้ ต่อมาเป็นส่วนวงจรสหสัมพันธ์ และวงจรเทียบสัมพันธ์ของลักษณะรูปคลื่น จากนั้นสัญญาณที่รับเข้ามาจากวงจรภาคส่วนหน้านั้นจะส่งต่อไปยังส่วนประมวลผลข้อมูลต่อไป

การออกแบบระบบรับส่งสัญญาณสำหรับเทคโนโลยีการสื่อสารอัลตราไวด์แบนด์ที่คั้นสัญญาณพัลส์จะต้องมีการบิดเบี้ยว (distortion) น้อยมากเมื่อแพร่กระจายออกจากสายอากาศของเครื่องรับส่งผ่านช่องสัญญาณการสื่อสารไปยังสายอากาศของเครื่องรับ เนื่องจากสัญญาณสำหรับเทคโนโลยีการสื่อสารอัลตราไวด์แบนด์พื้นฐานนั้นมีการรับส่งสัญญาณในลักษณะของพัลส์แคบ ๆ หรือที่เรียกว่าอิมพัลส์ โดยรูปแบบของพัลส์ที่นำมาพิจารณานั้นมีหลายรูปแบบ ดังแสดงในรูปที่ 2.8 (Ghavami, Michael, and Kohno, 2007)



รูปที่ 2.8 รูปแบบสัญญาณพัลส์ลักษณะต่าง ๆ ของเทคโนโลยีการสื่อสารอัลตราไวด์แบนด์

สำหรับการวิจัยฉบับนี้จะกล่าวถึงสัญญาณพัลส์ 3 รูปแบบ คือ สัญญาณพัลส์แบบเกาส์ พัลส์แบบโมโนไซเคิล และพัลส์แบบเกาส์เซียนดับเลต ซึ่งเป็นพัลส์ที่มีช่วงเวลาแคบ ๆ เพียงหนึ่งพัลส์ที่มีการส่งแต่ละพัลส์แบบไม่ต่อเนื่อง แต่ละพัลส์จะมีความหนาแน่นพลังงานเชิงสเปกตรัมที่กว้างมากในโดเมนความถี่ สำหรับการรับส่งสัญญาณพัลส์ที่เกิดขึ้นในระบบนั้นจะเป็นการพิจารณาในโดเมนเวลาเป็นหลัก โดยสัญญาณพัลส์จากวงจรแหล่งกำเนิดของเครื่องรับส่งที่มากระตุ้นสายอากาศเมื่อถูกกำหนดให้เป็นพัลส์แบบเกาส์ (Ghavami, Michael, and Kohno, 2007) แล้วจากนั้นเมื่อสัญญาณพัลส์ถูกส่งออกจากสายอากาศและแพร่กระจายไปในช่องสัญญาณจะถูกพิจารณาเป็นพัลส์แบบโมโนไซเคิล ซึ่งเป็นสัญญาณพัลส์ที่เกิดจากการทำอนุพันธ์อันดับที่หนึ่งของพัลส์แบบเกาส์และหลังจากที่สัญญาณพัลส์เดินทางมาถึงที่เครื่องรับโดยตกกระทบกับสายอากาศภากรับสัญญาณพัลส์จะถูกพิจารณาเป็นพัลส์แบบเกาส์เซียนดับเลต ซึ่งเป็นสัญญาณพัลส์ที่เกิดจากการทำอนุพันธ์อันดับที่สองของพัลส์แบบเกาส์และสามารถแสดงความสัมพันธ์ได้ดังรูปที่ 2.9



รูปที่ 2.9 รูปแบบสัญญาณพัลส์ของเทคโนโลยีการสื่อสารอัลตราไวด์แบนด์ที่แพร่กระจายจากเครื่องรับส่งผ่านช่องทางการสื่อสารไปยังเครื่องรับ

## 2.5 กระบวนการวิเคราะห์สัญญาณสำหรับเทคโนโลยีการสื่อสารอัลตราไวด์แบนด์

กระบวนการและหลักการที่ใช้ในระบบการสื่อสารต่าง ๆ นั้นใช้เพื่อเป็นวิธีการพื้นฐานของการแก้ปัญหา ของนักวิทยาศาสตร์และวิศวกร รวมถึงการคิดค้นรูปแบบทางคณิตศาสตร์ที่เหมาะสมเพื่อหาคำตอบทางคณิตศาสตร์ที่เป็นไปได้ และสามารถอธิบายได้ทางกายภาพ ซึ่งในระบบการสื่อสารทั่วไปและการรับส่งสัญญาณที่มีการใช้แบนด์วิดท์แคบนั้นปกติแล้วจะมีการพิจารณาปัญหาทางกายภาพเท่านั้น เนื่องจากสัญญาณที่เกิดขึ้นในระบบนั้นมีแบนด์วิดท์ไม่กว้างมากนัก เมื่อระบบถูกกระตุ้นด้วยสัญญาณที่มีแบนด์วิดท์กว้างจะทำให้มีปัญหาเกิดขึ้นและทำการแก้ไขได้ยากมาก ซึ่งการแก้ปัญหาของการกระตุ้นระบบด้วยสัญญาณที่มีแบนด์วิดท์กว้างสามารถทำได้โดยใช้การ

วิเคราะห์ในโดเมนเวลา วิธีการแปลงลาปลาซ หรือวิธีการแปลงฟูริเยร์ ซึ่งเป็นวิธีการที่นำมาใช้ประโยชน์ได้และมีการใช้งานมาเป็นเวลานานแล้ว ดังนั้นในระบบการสื่อสารอัลตราไวด์แบนด์จึงได้นำกระบวนการต่าง ๆ เหล่านี้มาใช้ให้เป็นประโยชน์

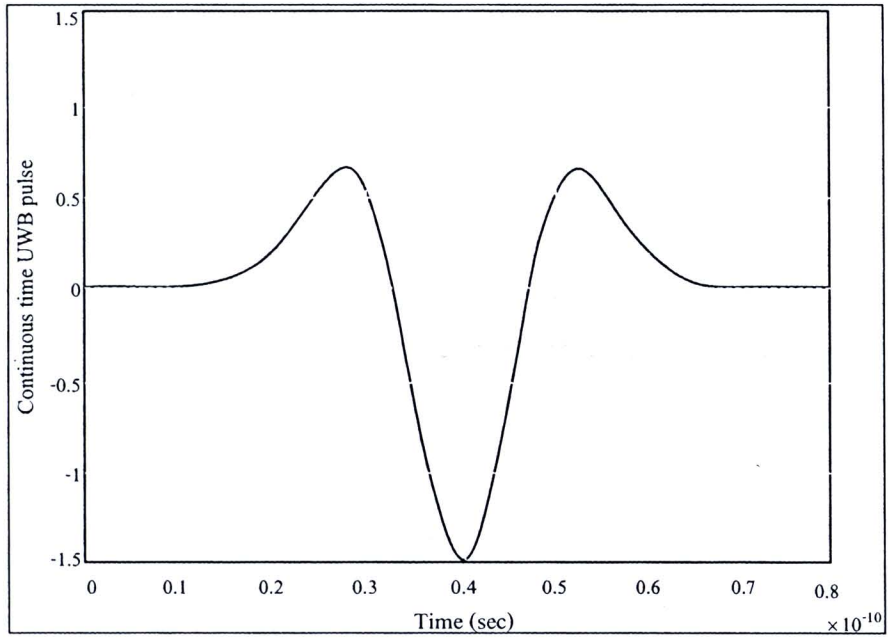
### 2.5.1 การวิเคราะห์ในโดเมนเวลา

การวิเคราะห์คุณลักษณะสัญญาณของเทคโนโลยีการสื่อสารอัลตราไวด์แบนด์สามารถใช้วิธีใดวิธีหนึ่งได้ดังที่กล่าวมาแล้วข้างต้นทั้งโดเมนเวลาหรือโดเมนความถี่ ซึ่งแต่ละวิธีนั้นมีทั้งข้อดีและข้อเสียแตกต่างกันไป โดยในโดเมนเวลาสิ่งสำคัญคือการหาผลตอบสนองสัญญาณอิมพัลส์ของระบบ ตัวอย่างเช่น ระบบที่สามารถจะแพร่กระจายคลื่นจากสายอากาศภาคส่งผ่านช่องทางการสื่อสารไปยังสายอากาศของภาครับ ซึ่งสามารถแยกประเภทของสัญญาณออกเป็นหลายรูปแบบที่แตกต่างกัน คือสัญญาณที่มีความต่อเนื่องทางเวลาหรือสัญญาณ ไม่มีความต่อเนื่องทางเวลา สัญญาณที่เป็นแอนะล็อกหรือสัญญาณที่เป็นดิจิทัล สัญญาณที่ได้มาจากการคำนวณหรือการสุ่ม รวมถึงสัญญาณที่เป็นคาบและสัญญาณที่ไม่เป็นคาบ เป็นต้น โดยสัญญาณที่มีความต่อเนื่องทางเวลานั้นส่วนมากจะมีการเฉลี่ยฟังก์ชันที่เป็นค่าจริงหรือฟังก์ชันเชิงซ้อนของเวลา  $s(t)$  เมื่อ  $t$  เป็นเวลาที่ต่อเนื่องและมีการเปลี่ยนแปลงได้อย่างอิสระ ถ้า  $t$  มีการเปลี่ยนแปลงแบบไม่ต่อเนื่อง เช่น  $s(t)$  มีการกำหนดเวลาที่ไม่มีค่าต่อเนื่องแล้วสัญญาณ  $s(t)$  จะเป็นสัญญาณที่ไม่มีค่าต่อเนื่องทางเวลา ซึ่งเป็นการกำหนดลำดับของฟังก์ชันเป็น  $s(n)$  เมื่อ  $n$  เป็นจำนวนเต็มยกตัวอย่างเช่น

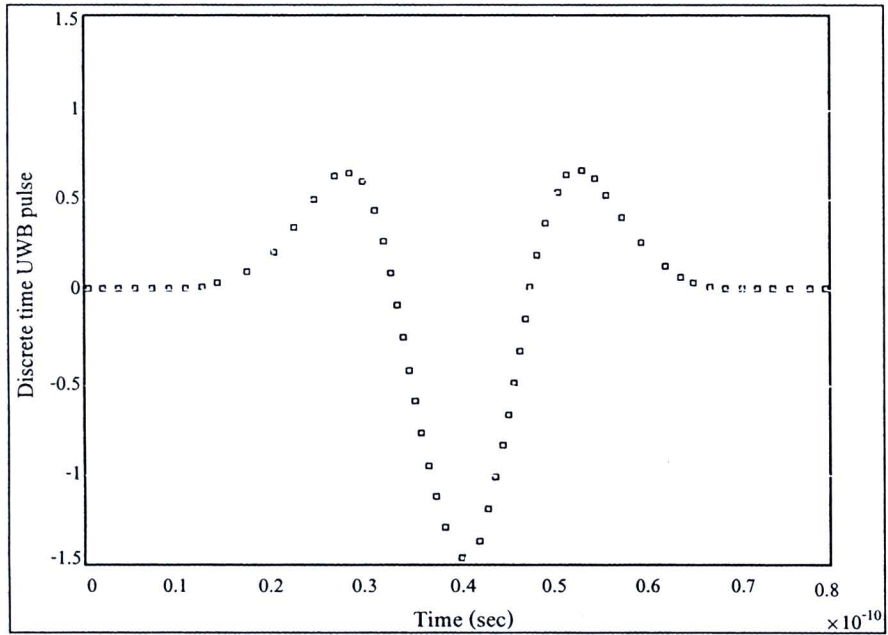
$$s(t) = (t^2 - 1)e^{-t^2/4} \quad (2.5)$$

$$s(n) = (n^2 - 1)e^{-n^2/4} \quad (2.6)$$

โดยถ้าสัญญาณมีความต่อเนื่องทางเวลาแล้ว  $s(t)$  จะสามารถนำค่าในช่วงเวลาที่ต่อเนื่องทุกค่าขึ้นมาพิจารณาได้ โดย  $s(t)$  จะถูกเรียกว่าสัญญาณแอนะล็อก แต่ถ้าสัญญาณที่ไม่มีค่าต่อเนื่องทางเวลา และสามารถที่จะนำค่าใดค่าหนึ่งในช่วงเวลามาพิจารณาได้นั้นคือสัญญาณดิจิทัล และเมื่อสัญญาณที่เป็นลักษณะพัลส์ของเทคโนโลยีอัลตราไวด์แบนด์เป็นพัลส์ที่สั้นมาก ๆ จึงยากที่จะใช้การแปลงจากแอนะล็อกเป็นดิจิทัลแบบเดิมได้ โดยจะต้องมีการเพิ่มเติมเทคนิคและวิธีการที่แตกต่างออกไป เพื่อให้ได้สัญญาณเป็นพัลส์จังหวะสั้น ๆ จากวงจรภาคส่วนหน้าของเทคโนโลยีการสื่อสารอัลตราไวด์แบนด์ ซึ่งสามารถแสดงลักษณะสัญญาณพัลส์ของเทคโนโลยีอัลตราไวด์แบนด์ทั้งรูปแบบที่ต่อเนื่องและไม่ต่อเนื่องในโดเมนเวลาได้ดังรูปที่ 2.10



ก. สัญญาณที่มีความต่อเนื่องทางเวลา



ข. สัญญาณที่ไม่มีความต่อเนื่องทางเวลา

รูปที่ 2.10 ตัวอย่างของสัญญาณที่มีความต่อเนื่องทางเวลาและสัญญาณที่ไม่มีความต่อเนื่องทางเวลา

### 2.5.2 การวิเคราะห์ในโดเมนความถี่

ผลตอบสนองทางความถี่เป็นอัตราขยายหรือขนาดและผลตอบสนองทางเฟสของวงจรหรือชุดทดสอบทุก ๆ ความถี่ที่สนใจ แม้การกำหนดรูปแบบของผลตอบสนองทางความถี่จะมีการพิจารณาทั้งอัตราขยายและเฟส แต่การใช้ผลตอบสนองความถี่โดยทั่วไปแล้วส่วนใหญ่จะเป็นการแสดงความถี่หรืออัตราขยายเท่านั้น โดยผลตอบสนองความถี่ของสัญญาณที่มีความต่อเนื่องทางเวลาและสัญญาณที่ไม่มีความต่อเนื่องทางเวลาสามารถแบ่งออกได้ดังนี้

1) การแปลงฟูรีเยร์ เป็นการหาผลตอบสนองทางความถี่ของฟังก์ชันที่มีความต่อเนื่องของเวลา  $h(t)$  กำหนดโดย  $H(f)$  ซึ่งแสดงได้ดังสมการที่ (2.8) และการหาผลตอบสนองทางความถี่ของฟังก์ชันที่ไม่มีความต่อเนื่องทางเวลาของลำดับ  $h(n)$  แสดงได้ดังสมการที่ (2.9)

$$H(f) = F\{h(t)\} \quad (2.7)$$

$$H(f) = \int_{-\infty}^{\infty} h(t)e^{-j2\pi ft} dt \quad (2.8)$$

$$H(e^{j\Omega}) = \sum_{n=-\infty}^{\infty} h(n) e^{-j\Omega n} \quad (2.9)$$

$$\sum_{n=-\infty}^{\infty} |h(n)| < \infty \quad (2.10)$$

ถ้าผลรวมลู่เข้าหากันและมีการลู่เข้าแบบสม่ำเสมอจะได้ว่าทุก ๆ ลำดับเป็นผลรวมสัมบูรณ์ ซึ่งในสมการที่ (2.9) สมนัยกับการกำหนดผลการแปลง  $z$  ของทั้งสองด้าน โดยจะแสดงให้ดูในภายหลัง อย่างไรก็ตามจากการกำหนดการแปลงฟูรีเยร์ของสัญญาณที่ไม่มีความต่อเนื่องของเวลาโดยตรงด้วยคาบเท่ากับ  $2\pi$  ซึ่งแสดงความสัมพันธ์ได้ดังสมการที่ (2.12)

$$H(e^{j(\Omega+k2\pi)}) = \sum_{n=-\infty}^{\infty} h(n)e^{-j(\Omega+k2\pi)n} \quad (2.11)$$

$$H(e^{j(\Omega+k2\pi)}) = \sum_{n=-\infty}^{\infty} h(n)e^{-j\Omega n} = H(e^{j\Omega}) \quad (2.12)$$

เนื่องจากผลตอบสนองความถี่ของระบบภายใต้การทดสอบในทุก ๆ ความถี่ที่เกี่ยวข้องกัน โดยการวัดนั้นจะทำการกระตุ้นสัญญาณที่มีแถบกว้างอย่างรวดเร็ว ซึ่งเป็นการกระตุ้นในทุกความถี่แบบชั่วขณะในเวลาเดียวกัน และใช้วิธีการแปลงฟูรีเยร์แบบทันทีทันใดของทุก ๆ ความถี่ในบางเวลา ซึ่งเป็นการลดสัญญาณรบกวนและความไม่เป็นเชิงเส้นที่ดีที่สุดด้วยการใช้วิธีสุ่มสัญญาณรบกวนที่มากกระตุ้น แต่อาจจะต้องใช้อิมพัลส์ที่มีการเปลี่ยนแปลงอย่างรวดเร็ว

2) พังก์ชันถ่ายโอน เป็นการหาผลตอบสนองทางความถี่ของสัญญาณจากสมการที่ (2.13) ด้วยการแปลงฟูรีเยร์ของสัญญาณในโดเมนเวลา โดยที่  $H(f)$  เป็นการแปลงฟูรีเยร์ของ  $h(t)$  ซึ่งฟังก์ชัน  $H(f)$  เรียกว่าฟังก์ชันถ่ายโอน หรือผลตอบสนองความถี่ของระบบที่เป็นเชิงเส้น ซึ่งไม่มีการเปลี่ยนแปลงของเวลาแสดงได้ดังสมการที่ (2.14)

$$y(t) = h(t) * x(t) \quad (2.13)$$

$$Y(f) = H(f)X(f) \quad (2.14)$$

3) การแปลงลาปลาซ เป็นการหาผลตอบสนองทางความถี่ของฟังก์ชัน  $h(t)$  เพียงข้างเดียวแสดงได้ดังสมการที่ (2.15)

$$H(s) = \int_0^{\infty} h(t)e^{-st} dt \quad (2.15)$$

โดยที่  $t$  เป็นจำนวนจริง และ  $s = \sigma + j\omega$  เป็นจำนวนเชิงซ้อน แต่ถ้ามีการแปลงลาปลาซทั้งสองข้างแล้วจะมีการกำหนดขอบเขตล่างของการอินทิเกรตจาก 0 ไปเป็น  $-\infty$  ซึ่งสามารถที่จะทำการวิเคราะห์โดยใช้การแปลงลาปลาซของระบบที่เป็นเชิงเส้นได้เท่านั้น อย่างไรก็ตามโดยปกติแล้วในทางปฏิบัติเชิงวิศวกรรมจะมีการกำหนดให้ใช้เพียงข้างเดียวเท่านั้น เนื่องจากเมื่อต้องการหาค่าระหว่างแกนที่มี  $s = j\omega$  โดยให้  $\sigma = 0$  แล้วการแปลงลาปลาซสามารถพิจารณาได้ตามลักษณะโดยทั่วไปของการแปลงฟูรีเยร์จากเส้นจำนวนจริง (ตัวอย่างเช่นแกนของความถี่) ไปยังระนาบเชิงซ้อนได้ ซึ่งข้อดีของการแปลงลาปลาซคือสามารถวิเคราะห์สัญญาณในโดเมนความถี่ที่ไม่สามารถใช้การแปลงฟูรีเยร์ได้ ดังนั้นสามารถเขียนการแปลงลาปลาซได้ดังสมการที่ (2.17)

$$H(s) = \int_0^{\infty} h(t)e^{-(\sigma + j\omega)t} dt \quad (2.16)$$

$$H(s) = \int_0^{\infty} [h(t)e^{-\sigma t}] e^{-j\omega t} dt \quad (2.17)$$

4) การแปลง  $z$  เป็นการหาผลตอบสนองทางความถี่ของสัญญาณเหมือนกับการแปลงลาปลาซ เนื่องจากการแปลง  $z$  เป็นการวิเคราะห์ลักษณะสัญญาณทางเวลาที่ไม่ต่อเนื่องคล้ายกับการแปลงลาปลาซ ซึ่งเป็นเครื่องมือที่จำเป็นอย่างยิ่งในทางคณิตศาสตร์สำหรับการออกแบบและวิเคราะห์สัญญาณของระบบ ซึ่งลักษณะโดยทั่วไปของการแปลงฟูริเยร์ของสัญญาณในการทดลองเหมือนกับการแปลงลาปลาซในส่วนที่ทำให้เข้าใจพฤติกรรมแบบชั่วขณะของการตอบสนองของสัญญาณอิมพัลส์ ความมีสภาวะที่คงตัว และความมีเสถียรภาพของระบบที่ไม่ต่อเนื่องทางเวลา ซึ่งความเข้าใจเกี่ยวกับการแปลง  $z$  นี้เป็นสิ่งที่สำคัญมากสำหรับการวิเคราะห์สัญญาณของเทคโนโลยีอัลตราไวด์แบนด์ โดยการแปลง  $z$  นั้นจะกระทำทั้งสองด้านของสัญญาณ  $h(n)$  ที่ไม่มีความต่อเนื่องทางเวลาแสดงได้ดังสมการที่ (2.18)

$$H(z) = \sum_{n=-\infty}^{\infty} h(n)z^{-n} \quad (2.18)$$

เมื่อ  $z$  เป็นจำนวนเชิงซ้อนที่สามารถเปลี่ยนแปลงได้ เนื่องจากการกำหนดรูปแบบของสัญญาณเริ่มต้นที่เวลา  $n = 0$  และเนื่องจากตัวกรองสัญญาณทุกตัวถูกสมมติขึ้นมา ซึ่งขอบล่างของผลรวมจะให้เป็น 0 มากกว่าที่จะเป็น  $-\infty$  และผลที่ได้ออกมาจะกลายเป็นการแปลง  $z$  เพียงด้านเดียวนั่นเอง

5) ความสัมพันธ์ระหว่างการแปลงลาปลาซ การแปลงฟูริเยร์ และการแปลง  $z$  โดยการแปลงลาปลาซ การแปลงฟูริเยร์ และการแปลง  $z$  เป็นความสัมพันธ์ที่เกี่ยวข้องกัน เนื่องจากสัญญาณที่อยู่ทางด้านขวามือของการแปลงลาปลาซเป็นการแปลงฟูริเยร์โดยทั่วไปของสัญญาณที่มีความต่อเนื่องทางเวลา และที่อยู่ทางด้านขวามือของการแปลง  $z$  เป็นการแปลงฟูริเยร์โดยทั่วไปของสัญญาณที่ไม่มีความต่อเนื่องทางเวลา ซึ่งจะแสดงให้เห็นว่าการแปลง  $z$  สามารถได้มาจากการแปลงลาปลาซของสัญญาณที่ไม่มีความต่อเนื่องทางเวลา ซึ่งต่อไปนี้เป็น การแสดงให้เห็นถึงความสัมพันธ์ระหว่างการแปลง  $z$  และการแปลงฟูริเยร์ ดังสมการที่ (2.19) โดยเมื่อ  $s = \sigma + j\omega$  และ  $\omega = 2\pi f$  แล้วสามารถที่จะเขียนการแปลง  $z$  ได้ดังสมการที่ (2.20) และเมื่อให้  $r = e^{\sigma} = 1$  แล้วจะวิเคราะห์สัญญาณได้ดังสมการที่ (2.21)

$$z = e^s = e^{\sigma} e^{j\omega} = r e^{j2\pi f} \quad (2.19)$$

$$H(z) = \sum_{n=-\infty}^{\infty} h(n)r^{-n}e^{-j2\pi nf} \quad (2.20)$$

$$H(z = e^{j2\pi f}) = \sum_{n=-\infty}^{\infty} h(n)e^{-j2\pi nf} \quad (2.21)$$

## 2.6 ทฤษฎีทางคณิตศาสตร์โดยพื้นฐานสำหรับเทคโนโลยีการสื่อสารอัลตราไวด์แบนด์

จากจุดประสงค์ของการพัฒนาระบบการสื่อสารอัลตราไวด์แบนด์พบว่าสิ่งที่แตกต่างจากการสื่อสารแบนด์แคบคือ รูปแบบของสัญญาณ เนื่องจากสัญญาณที่ใช้ในการสื่อสารสำหรับเทคโนโลยีอัลตราไวด์แบนด์เป็นลักษณะของพัลส์ โดยรูปแบบของพัลส์ที่นิยมนำมาใช้พิจารณาสำหรับการรับส่งข้อมูลข่าวสารนั้นมีสามรูปแบบ คือ เกาส์เซียนพัลส์ เกาส์เซียนโมโนไซเคิลพัลส์ และเกาส์เซียนดับเลตคังที่ได้กล่าวมาแล้วข้างต้น

### 2.6.1 เกาส์เซียนพัลส์

โดยทั่วไปแล้วสัญญาณพัลส์ที่นิยมนำมาพิจารณาเป็นอันดับแรกสำหรับการสื่อสารอัลตราไวด์แบนด์ คือเกาส์เซียนพัลส์เนื่องจากมีรูปแบบทางคณิตศาสตร์ที่ไม่ซับซ้อนมากนัก และสามารถกำเนิดสัญญาณเกาส์เซียนพัลส์นี้ได้ง่าย ซึ่งสามารถเขียนได้ดังสมการที่ (2.22)

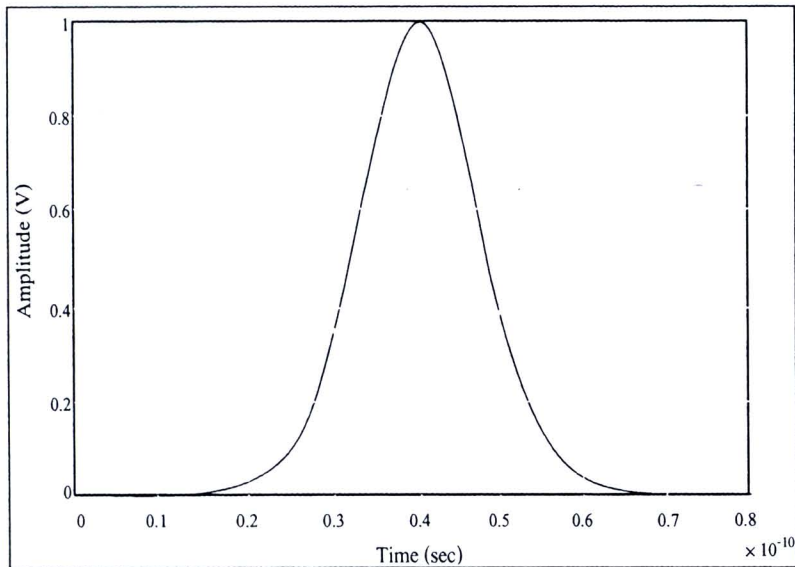
$$y_{g_1}(t) = A_1 e^{-(t/\tau)^2} \quad (2.22)$$

เมื่อ  $t$  คือช่วงเวลา โดยที่  $-\infty < t < \infty$  มี  $A_1$  เป็นแอมพลิจูดของเกาส์เซียนพัลส์ และ  $\tau$  คือความกว้างของพัลส์ ซึ่งสามารถกำหนดได้โดยให้  $\tau = \sigma \cdot 2\pi$  เมื่อ  $\sigma$  คือค่าเบี่ยงเบนมาตรฐานของเกาส์เซียนพัลส์ และจากสมการที่ (2.22) เมื่อพิจารณาลักษณะรูปร่างของพัลส์ในโดเมนเวลาสามารถแสดงได้ดังรูปที่ 2.11 ซึ่งเป็นการพิจารณาลักษณะของสัญญาณเทียบกับขนาด และเมื่อพิจารณาในโดเมนความถี่สามารถแปลงฟูริเยร์ของสมการที่ (2.22) ได้ดังสมการที่ (2.25) ซึ่งจะมีการแผ่สเปกตรัมสัญญาณในรูปของพลังงานเทียบกับความถี่แสดงได้ดังรูปที่ 2.12

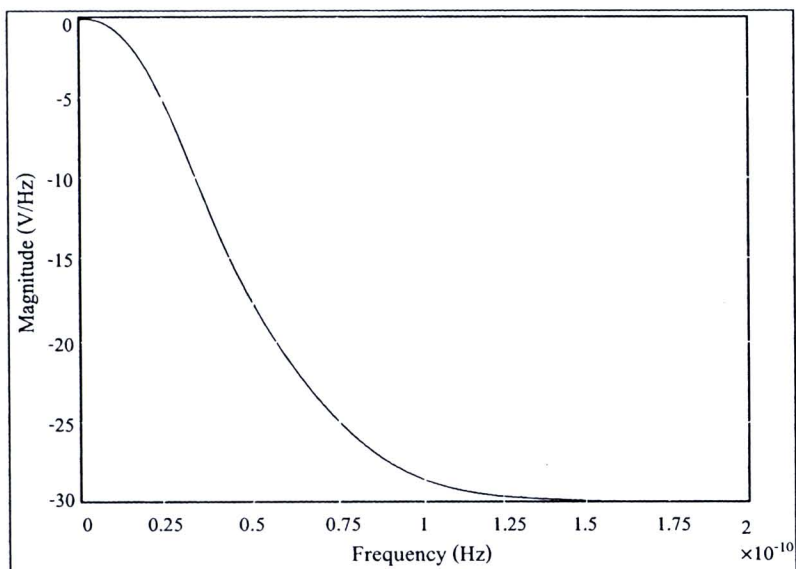
$$Y_{g_1}(f) = F\{y_{g_1}(t)\} \quad (2.23)$$

$$Y_{g_1}(f) = \int_{-\infty}^{\infty} A_1 e^{-(t/\tau)^2} e^{-j2\pi ft} dt \quad (2.24)$$

$$Y_{g_1}(f) = A_1 \tau \sqrt{\pi} e^{-(\pi f)^2} \quad (2.25)$$



รูปที่ 2.11 สัญญาณเกาส์เซียนพัลส์ที่ใช้สำหรับเทคโนโลยีการสื่อสารอัลตราไวด์แบนด์เมื่อพิจารณาในโดเมนเวลา



รูปที่ 2.12 สัญญาณเกาส์เซียนพัลส์ที่ใช้สำหรับเทคโนโลยีการสื่อสารอัลตราไวด์แบนด์เมื่อพิจารณาในโดเมนความถี่

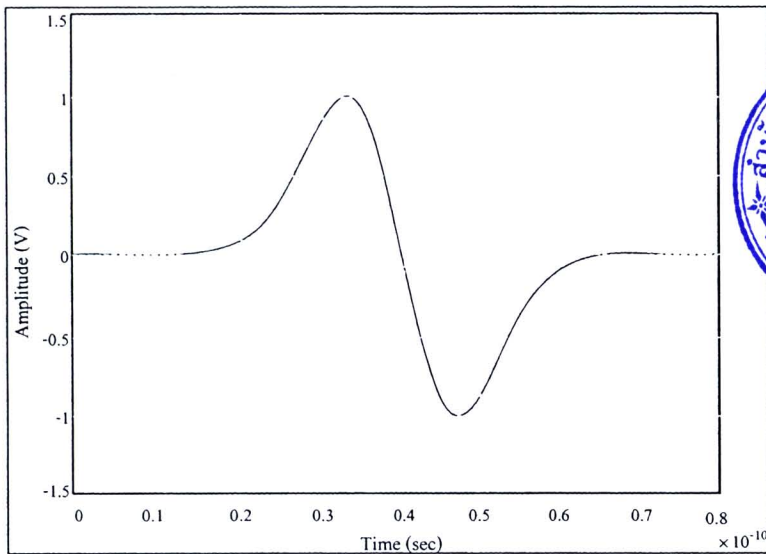
### 2.6.2 เกาส์เซียนโมโนไซเคลพัลส์

รูปแบบสัญญาณที่เป็นเกาส์เซียนพัลส์จากสมการที่ (2.22) เมื่อพิจารณาในโดเมนความถี่แล้วจะเห็นว่าที่ความถี่ต่ำนั้นสัญญาณจะมีส่วนประกอบของกระแสตรง (DC component) ซึ่งไม่สามารถส่งสัญญาณผ่านสายอากาศออกไปได้ จึงไม่เหมาะกับการนำมาใช้สำหรับการรับส่งสัญญาณของระบบที่มีสายอากาศเป็นส่วนประกอบ แต่จะมีประโยชน์ในส่วนของกำเนิดสัญญาณพัลส์เนื่องจากสามารถทำได้ง่าย ซึ่งสัญญาณพัลส์ที่นิยมนำมาใช้สำหรับการรับส่งข้อมูลของเทคโนโลยีการสื่อสารอัลตราไวด์แบนด์ เป็นสัญญาณพัลส์อีกรูปแบบหนึ่งที่เรียกว่าเกาส์เซียนโมโนไซเคลพัลส์ เนื่องจากเมื่อพิจารณาในโดเมนความถี่แล้วจะไม่มีส่วนประกอบของกระแสตรง ซึ่งสามารถสร้างพัลส์รูปแบบนี้ได้โดยการนำเกาส์เซียนพัลส์มาผ่านตัวกรองความถี่สูงเพื่อกำเนิดสัญญาณพัลส์ดังกล่าว ซึ่งการกระทำของตัวกรองความถี่สูงนี้เป็นการนำสมการที่ (2.22) มาทำอนุพันธ์นั่นเอง และผลจากการทำอนุพันธ์อันดับที่หนึ่งของเกาส์เซียนพัลส์ทำให้ได้สัญญาณเกาส์เซียนโมโนไซเคลพัลส์ ดังสมการที่ (2.26)

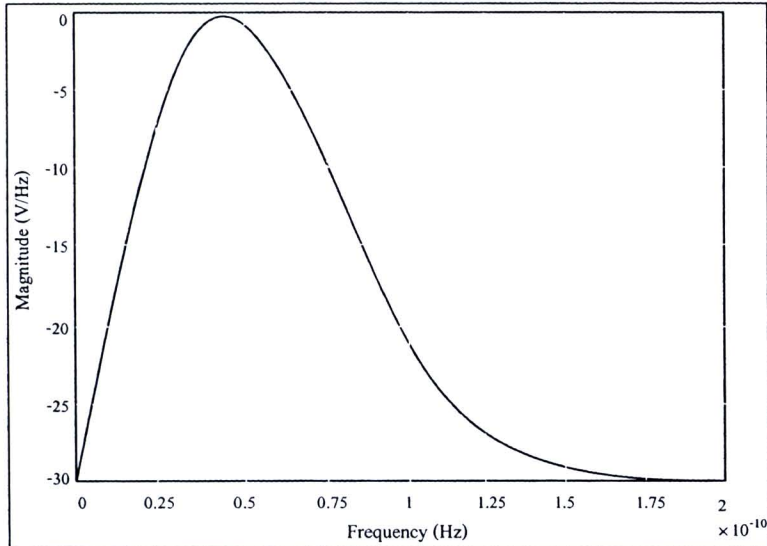
$$y_{g_2}(t) = A_2 \frac{-2t}{\tau^2} e^{-(t/\tau)^2} \quad (2.26)$$

เมื่อ  $t$  คือช่วงเวลาของสัญญาณพัลส์ โดยที่  $-\infty < t < \infty$  และ  $A_2$  เป็นแอมพลิจูดของสัญญาณแบบเกาส์เซียนโมโนไซเคลพัลส์ โดยสัญญาณพัลส์แบบเกาส์เซียนโมโนไซเคลพัลส์นี้สามารถสังเกตได้ว่ามีจุดตัดผ่านจุดศูนย์เพียงหนึ่งจุดเท่านั้น ซึ่งจุดตัดผ่านศูนย์นี้จะเพิ่มเข้ามาเป็นจำนวนเท่ากับอันดับของการทำอนุพันธ์ของสัญญาณ โดยความกว้างของพัลส์นั้นมีค่าเท่ากับ  $\tau$  ลงที่ และในขณะที่เดียวกันนี้การเพิ่มอันดับของอนุพันธ์จะทำให้อัตราส่วนของแบนด์วิดท์ลดลงด้วย แต่ความถี่กลางจะเพิ่มขึ้น ซึ่งสามารถแสดงลักษณะรูปร่างของสัญญาณเกาส์เซียนโมโนไซเคลพัลส์ในโดเมนเวลาได้ดังรูปที่ 2.13 ซึ่งเป็นการพิจารณาลักษณะของสัญญาณเทียบกับขนาด  $\tau$  เวลาหนึ่ง ๆ เช่นเดียวกับสัญญาณแบบเกาส์เซียนพัลส์ แต่เมื่อนำสัญญาณเกาส์เซียนโมโนไซเคลพัลส์ในโดเมนเวลามาพิจารณาในโดเมนความถี่ด้วยแปลงฟูริเยร์ของสมการที่ (2.26) ได้ดังสมการที่ (2.27) โดยสัญญาณเกาส์เซียนโมโนไซเคลพัลส์นี้จะมีการแผ่สเปกตรัมสัญญาณในรูปของพลังงานเทียบกับความถี่แสดงได้ดังรูปที่ 2.14

$$Y_{g_2}(f) = A_2 \tau \sqrt{\pi} (j2\pi f) e^{-(\pi f \tau)^2} \quad (2.27)$$



รูปที่ 2.13 สัญญาณเกาส์เซียน โมโนไซเคิลพัลส์สำหรับเทคโนโลยีการสื่อสารอัลตราไวด์แบนด์เมื่อพิจารณาในโดเมนเวลา



รูปที่ 2.14 สัญญาณเกาส์เซียน โมโนไซเคิลพัลส์สำหรับเทคโนโลยีการสื่อสารอัลตราไวด์แบนด์เมื่อพิจารณาในโดเมนความถี่

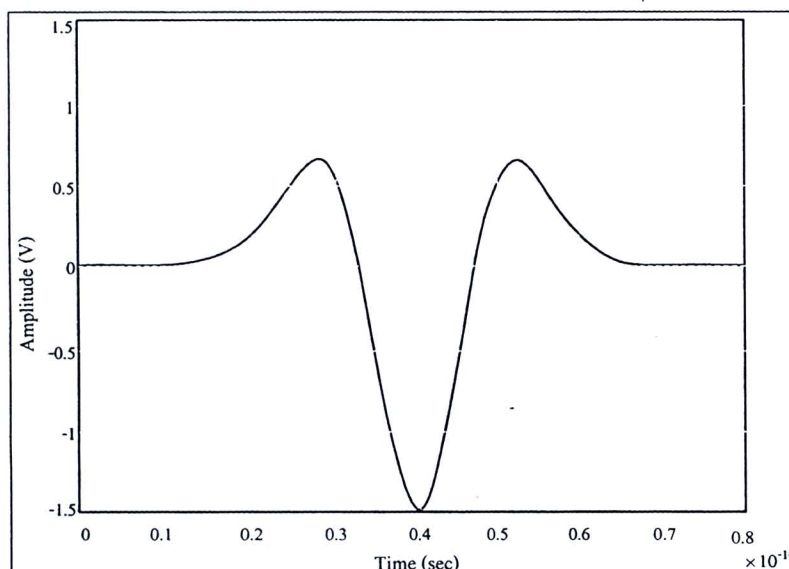
จากรูปที่ 2.14 แสดงให้เห็นการแผ่สเปกตรัมของสัญญาณเกาส์เซียน โมโนไซเคิลพัลส์ในโดเมนความถี่ ซึ่งพบว่าสัญญาณไม่มีส่วนประกอบของ DC เหมือนกับเกาส์เซียนพัลส์

### 2.6.3 เกาส์เซียนดับเลตพัลส์

นอกจากรูปแบบสัญญาณที่เป็นเกาส์เซียนพัลส์และเกาส์เซียนโมโนไซเคิลพัลส์แล้ว ยังมีพัลส์อีกรูปแบบหนึ่งที่มีการกล่าวถึงสำหรับเทคโนโลยีการสื่อสารอัตราไวด์แบนด์ นั่นคือพัลส์แบบเกาส์เซียนดับเลต ซึ่งสามารถสร้างพัลส์รูปแบบนี้ได้โดยการนำเกาส์เซียนพัลส์มาผ่านตัวกรองความถี่สูงสองตัวเพื่อกำเนิดสัญญาณพัลส์ดังกล่าว โดยนำสมการที่ (2.22) มาทำอนุพันธ์อันดับที่สอง และผลจากการทำอนุพันธ์อันดับที่สองนี้ทำให้ได้สัญญาณเกาส์เซียนดับเลตพัลส์ ดังสมการที่ (2.28)

$$y_{gs}(t) = A_3 \frac{-2}{\tau^2} \left( 1 - \frac{2t^2}{\tau^2} \right) e^{-(t/\tau)^2} \quad (2.28)$$

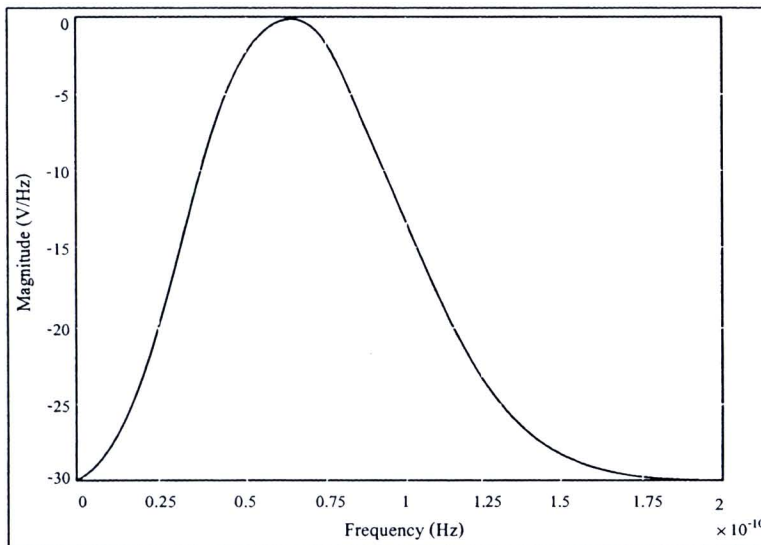
เมื่อ  $t$  คือช่วงเวลาโดยที่  $-\infty < t < \infty$  และ  $A_3$  เป็นแอมพลิจูดของเกาส์เซียนดับเลตพัลส์และเกาส์เซียนดับเลตนี้สามารถสังเกตได้ว่าการตัดผ่านจุดศูนย์สองจุดเท่ากับจำนวนอันดับของการทำอนุพันธ์ โดยความกว้างของพัลส์มีค่าเท่ากับ  $\tau$  คงที่ และการเพิ่มอันดับของอนุพันธ์นี้จะทำให้อัตราส่วนของแบนด์วิดท์ลดลงอีก ขณะที่ความถี่กลางนั้นเพิ่มขึ้น สามารถแสดงลักษณะรูปร่างของสัญญาณเกาส์เซียนดับเลตพัลส์ในโดเมนเวลาได้ดังรูปที่ 2.15 และ รูปที่ 2.13 ซึ่งเป็นการพิจารณาลักษณะของสัญญาณเทียบกับขนาดเช่นเดียวกับสัญญาณแบบเกาส์เซียนพัลส์



รูปที่ 2.15 สัญญาณเกาส์เซียนดับเลตพัลส์ที่ใช้สำหรับเทคโนโลยีการสื่อสารอัตราไวด์แบนด์เมื่อพิจารณาในโดเมนเวลา

เมื่อนำสัญญาณเกาส์เซียนดับเลตพัลส์ในโดเมนเวลาจากรูปที่ 2.15 มาพิจารณาในโดเมนความถี่ด้วยแปลงฟูริเยร์ของสมการที่ (2.28) ได้ดังสมการที่ (2.29) โดยเกาส์เซียนดับเลตพัลส์นี้จะมีการแผ่สเปกตรัมสัญญาณในรูปของพลังงานเทียบกับความถี่แสดงได้ดังรูปที่ 2.16

$$Y_{g_2}(f) = A_3 \tau \sqrt{\pi} (j2\pi f)^2 e^{-(\pi f)^2} \quad (2.29)$$



รูปที่ 2.16 สัญญาณเกาส์เซียนดับเลตพัลส์ที่ใช้สำหรับเทคโนโลยีการสื่อสารอัลตราไวด์แบนด์เมื่อพิจารณาในโดเมนความถี่

โดยจากรูปที่ 2.16 แสดงให้เห็นการแผ่สเปกตรัมในโดเมนความถี่ของสัญญาณพัลส์แบบเกาส์เซียนดับเลต ซึ่งไม่มีส่วนประกอบของ DC เช่นเดียวกับสัญญาณเกาส์เซียนโมโนไซเคิลพัลส์ แต่ค่าความถี่กลางจะเพิ่มขึ้นมากขึ้นกว่าเดิมตามอันดับของการทำอนุพันธ์ประกอบกับแบนด์วิดท์ของสัญญาณลดน้อยลง

## 2.7 ทฤษฎีพื้นฐานของสายอากาศ

ในระบบการสื่อสารไร้สายนั้นสายอากาศมีความสำคัญและจำเป็นอย่างยิ่ง เนื่องจากเป็นตัวแพร่กระจายคลื่น ซึ่งการรับส่งสัญญาณของระบบสื่อสารไร้สายจะมีประสิทธิภาพมากน้อยเพียงใดนั้นขึ้นอยู่กับสายอากาศด้วยส่วนหนึ่ง โดยเฉพาะสายอากาศที่ใช้สำหรับการสื่อสารของเทคโนโลยีอัลตราไวด์แบนด์ซึ่งต้องมีแถบความถี่กว้าง เพื่อรองรับการรับส่งข้อมูลในยุคปัจจุบันที่เป็น

มัลติมีเดีย ซึ่งปกติสายอากาศที่ถูกจัดให้เป็นสายอากาศแถบกว้างนั้นจะต้องมีความกว้างแถบมากกว่า 10% ขึ้นไป ซึ่งการอธิบายพฤติกรรมของสายอากาศตัวใดตัวหนึ่งนั้นจำเป็นต้องทราบค่านิยามของพารามิเตอร์ต่าง ๆ ของสายอากาศเสียก่อน นั่นคือค่าของการสูญเสียเนื่องจากการย้อนกลับ (return loss) อิมพีแดนซ์แบนด์วิดท์ (impedance bandwidth) แบบรูปการแผ่กระจายพลังงาน (radiation pattern) อัตราขยาย (gain) ของสายอากาศ ซึ่งทุก ๆ ปัจจัยที่กล่าวมาแล้วนั้นคือสิ่งที่จำเป็นอย่างยิ่งในการพิจารณาคูณลักษณะของสายอากาศ ซึ่งสำหรับการออกแบบสายอากาศหรือการเลือกใช้สายอากาศให้เหมาะสมกับการประยุกต์ใช้งาน โดยทั่วไปแล้วส่วนมากสิ่งที่เป็นปัจจัยพื้นฐานของการพิจารณาสายอากาศ คือ ค่าการสูญเสียเนื่องจากการย้อนกลับ อิมพีแดนซ์แบนด์วิดท์ อัตราขยาย และแบบรูปการแผ่กระจายพลังงาน

### 2.7.1 การสูญเสียเนื่องจากการย้อนกลับ

การสูญเสียเนื่องจากการย้อนกลับนั้นเป็นตัวบ่งบอกถึงค่าของแบนด์วิดท์สำหรับสายอากาศที่มีการแมตช์อย่างเพียงพอกับสายส่ง เช่น 10% หรือมากกว่า ซึ่งเป็นการแสดงให้เห็นถึงสัญญาณที่สูญเสียเนื่องจากการย้อนกลับเมื่อป้อนพลังงานให้กับสายอากาศ รวมทั้งเป็นการบ่งบอกถึงค่าคุณลักษณะของอัตราส่วนคลื่นนิ่ง (VSWR) ที่สัมพันธ์กับค่าการสูญเสียเนื่องจากการย้อนกลับตลอดย่านความถี่ที่สนใจ โดยค่า VSWR และค่าการสูญเสียเนื่องจากการย้อนกลับจะขึ้นอยู่กับค่าสัมประสิทธิ์การสะท้อน ( $\Gamma$ ) ซึ่งเป็นการกำหนดอัตราส่วนระหว่างคลื่นที่สะท้อนกลับ ( $V_0^-$ ) กับคลื่นที่ตกกระทบ ( $V_0^+$ ) ที่โหนดของสายส่งสามารถคำนวณได้ดังสมการที่ 2.30

$$\Gamma = \frac{V_0^-}{V_0^+} = \frac{Z_{line} - Z_{load}}{Z_{line} + Z_{load}} \quad (2.30)$$

โดยที่  $Z_{line}$  และ  $Z_{load}$  เป็นอิมพีแดนซ์ของสายส่งและอิมพีแดนซ์ของโหลด (สายอากาศ) ซึ่งแรงดันและกระแสที่ผ่านสายส่งแสดงได้ดังสมการต่อไปนี้

$$V(z) = V_0^+ e^{-j\beta z} + V_0^- e^{-j\beta z} = V_0^+ (e^{-j\beta z} + \Gamma e^{j\beta z}) \quad (2.31)$$

$$I(z) = \frac{1}{Z_0} (V_0^+ e^{-j\beta z} - V_0^- e^{-j\beta z}) = \frac{V_0^+}{Z_0} (e^{-j\beta z} - \Gamma e^{j\beta z}) \quad (2.32)$$

$$\text{เมื่อ } \beta = \frac{2\pi}{\lambda}$$

ค่าสัมประสิทธิ์การสะท้อน  $\Gamma$  จะมีค่าเท่ากับพารามิเตอร์  $S_{11}$  ของเมตริกซ์การกระจาย (scattering matrix) และกรณีที่มีการแมตซ์อิมพีแดนซ์ที่สมบูรณ์แบบจะทำให้  $\Gamma = 0$  และให้การแมตซ์อิมพีแดนซ์ที่แย่ที่สุดมีค่า  $\Gamma = -1$  หรือ  $1$  ซึ่งเหมือนกับความสัมพันธ์ของค่าอิมพีแดนซ์ที่โหลดเมื่อมีการลัดวงจรหรือเปิดวงจร และพลังงานที่มีการสะท้อนกลับที่จุดเชื่อมต่อของสายอากาศนี้เป็นปัจจัยสำคัญที่สัมพันธ์กับการแมตซ์อิมพีแดนซ์ โดยพลังงานของช่วงเวลาเฉลี่ยเป็นการวัดไปยังสายส่งตามปกติที่มีอิทธิพลกับค่าพลังงานเฉลี่ยสุทธิที่ส่งไปยัง โหลด และพลังงานเฉลี่ยที่เกิดขึ้นเป็นดังสมการที่ (2.33)

$$P'_{ave} = \frac{|V_0^+|^2}{2Z_0} \quad (2.33)$$

โดยพลังงานที่สะท้อนกลับเป็นสัดส่วนกับพลังงานที่เกิดขึ้น โดยคูณกับตัวประกอบของ  $|\Gamma|^2$  แสดงได้ดังสมการที่ (2.34) และค่าพลังงานเฉลี่ยสุทธิที่ส่งไปยัง โหลด จะเป็นผลรวมของพลังงานที่เกิดขึ้นและพลังงานเฉลี่ยที่สะท้อนกลับดังสมการที่ (2.35)

$$P'_{ave} = -|\Gamma|^2 \frac{|V_0^+|^2}{2Z_0} \quad (2.34)$$

$$P_{ave} = \frac{|V_0^+|^2}{2Z_0} [1 - |\Gamma|^2] \quad (2.35)$$

เนื่องจากพลังงานที่ส่งไปยัง โหลดเป็นสัดส่วนกับ  $(1 - |\Gamma|^2)$  โดยค่าที่สามารถยอมรับได้ของ  $\Gamma$  เพียงแค่ 10 % เท่านั้น จึงจะสามารถคำนวณค่าพลังงานที่สะท้อนกลับได้ และส่งผลให้  $\Gamma$  มีค่าเท่ากับ 0.3162 เมื่อโหลดไม่แมตซ์กับสายส่งแล้วจะเกิดการสะท้อนกลับจากโหลดไปยังแหล่งจ่าย ซึ่งเกิดเป็นคลื่นนิ่งในสายส่ง โดยการวัดค่า VSWR นั้นเป็นอัตราส่วนของแอมพลิจูดสูงสุดของคลื่นนิ่งกับแอมพลิจูดต่ำสุดของคลื่นนิ่ง โดยค่าที่ยอมรับได้ของอัตราส่วนคลื่นนิ่ง คือ มีค่าน้อยกว่าหรือเท่ากับ 2.0 โดยค่าของอัตราส่วนคลื่นนิ่งสามารถคำนวณได้จากสมการที่ (2.36)

$$VSWR = \frac{V_{max}}{V_{min}} = \frac{1 + |\Gamma|}{1 - |\Gamma|} \quad (2.36)$$

ต่อไปเป็นการพิจารณาค่าการสูญเสียย้อนเนื่องจากการย้อนกลับกลับของสายอากาศ ซึ่งเป็นการวัดคุณลักษณะของการแมตซ์อิมพีแดนซ์อีกแบบหนึ่ง โดยมีความสัมพันธ์เหมือนกับค่าของ  $\Gamma$  หรือค่าของอัตราส่วนคลื่นนิ่ง โดยค่าสูญเสียเนื่องจากการย้อนกลับของสายอากาศคำนวณได้จากสมการที่ 2.37

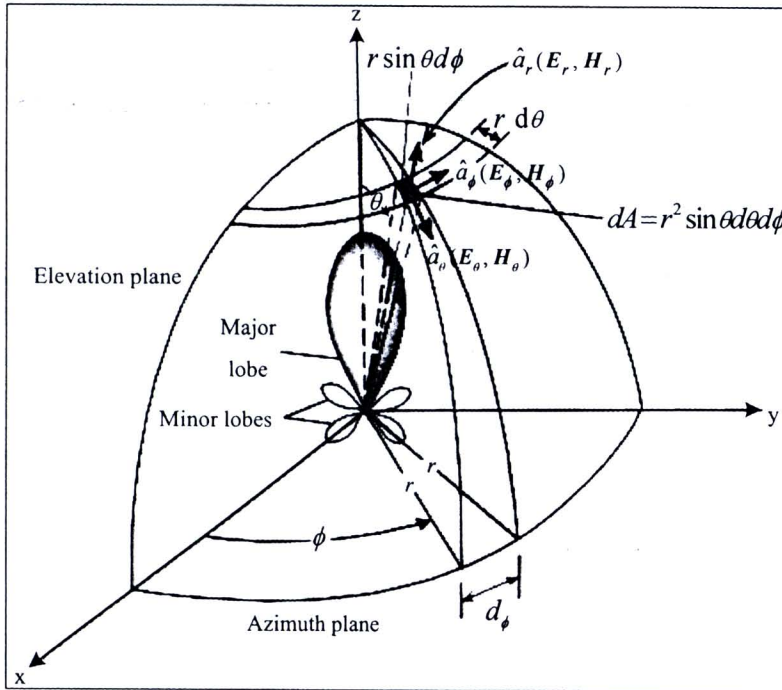
$$\text{Return Loss} = -10 \log |S_{11}|^2 = -20 \log(|\Gamma|) \quad (2.37)$$

เนื่องจากการแมตซ์อิมพีแดนซ์ของสายอากาศที่คืนนั้นเป็นการบ่งบอกถึงค่าการสูญเสียย้อนกลับต้องน้อยกว่า -10 dB ดังนั้นจึงสามารถสรุปได้ว่าสายอากาศที่คืนนั้นจำเป็นต้องมีค่าสัมประสิทธิ์การสะท้อนน้อยกว่า 0.3162 มีค่าอัตราส่วนคลื่นนิ่งน้อยกว่า 2 และมีค่าการสูญเสียเนื่องจากการย้อนกลับต่ำกว่า -10 dB

### 2.7.2 แบบรูปการแผ่กระจายพลังงาน

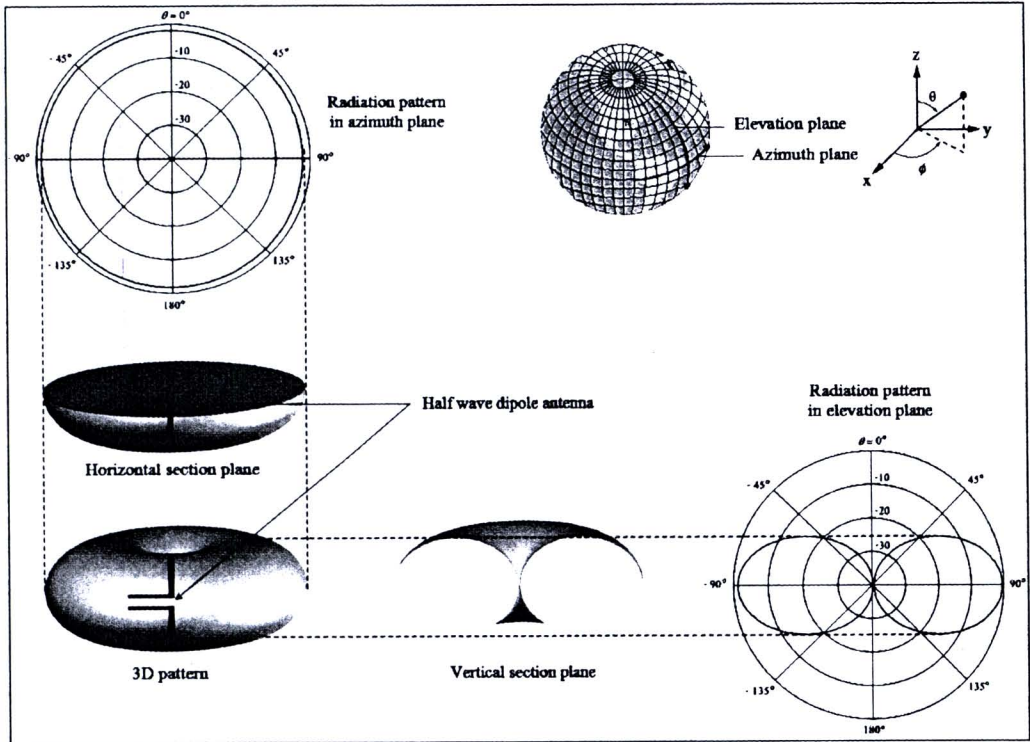
คุณลักษณะสำคัญอีกประการหนึ่งที่สำคัญสำหรับการอธิบายคุณลักษณะของสายอากาศรูปแบบต่าง ๆ นั้นคือแบบรูปการแผ่กระจายพลังงาน (radiation pattern) เนื่องจากรูปการแผ่กระจายพลังงานของสายอากาศ คือ รูปภาพที่ใช้เพื่อแสดงคุณสมบัติการแผ่กระจายพลังงานของคลื่นแม่เหล็กไฟฟ้า ซึ่งเป็นฟังก์ชันของพิกัดสเปซ (space coordinates function) ของค่าความแรงของสนาม (field strength) เฟส (phase) หรือ โพลาริเซชัน (polarization) ซึ่งคุณสมบัติเหล่านี้ใช้เพื่อแสดงการแจกแจงคุณสมบัติของสายอากาศในรูปของพลังงานเป็นฟังก์ชันของตำแหน่งในสามมิติโดยมีรัศมีคงที่ ซึ่งมีการใช้เส้นเพื่อแสดงพลังงานที่สายอากาศรับได้ตามแนวรัศมีที่มีค่าคงที่ โดยมีชื่อเรียกว่า แบบรูปพลังงาน (power pattern) ของสายอากาศ และรูปภาพที่แสดงการเปลี่ยนแปลงของสนามแม่เหล็กและสนามไฟฟ้าในทิศทางต่าง ๆ ที่มีรัศมีคงที่มีชื่อเรียกว่า แบบรูปสนาม (field pattern) ของสายอากาศ โดยระบบพิกัดที่นิยมนำมาใช้สำหรับการแสดงคุณสมบัติของการแผ่กระจายพลังงานของคลื่นนั้นจะนิยมพิจารณาในพิกัดทรงกลม เนื่องจากแบบรูปการแผ่กระจายพลังงานในสามมิติเป็นการวัดในระบบของพิกัดทรงกลม ซึ่งเป็นการอธิบายความสัมพันธ์ของความเข้มการแผ่กระจายพลังงานในสนามระยะไกลที่ล้อมรอบสายอากาศในลักษณะที่เป็นทรงกลม โดยในระบบพิกัดของทรงกลม ระนาบ x-z (ทำการวัดโดยเปลี่ยนแปลง  $\theta$  เมื่อ  $\phi = 0^\circ$ ) เป็นการชี้บ่งบอกถึงระนาบมุมเมฆ ส่วนระนาบ x-y (ทำการวัดโดยเปลี่ยนแปลง  $\phi$  เมื่อ  $\theta = 90^\circ$ ) เป็นการชี้บ่งบอกถึงระนาบมุมแอซิมัท โดยในระนาบของมุมเมฆนั้นจะมีเวกเตอร์ของสนามไฟฟ้าอยู่ (E-plane) และมีทิศทางของการแผ่กระจายพลังงานสูงสุด ส่วนในระนาบของแอซิมัทนั้นจะมีเวกเตอร์ของสนามแม่เหล็กอยู่ (H-plane) และมีทิศทางของการแผ่

กระจายพลังงานสูงสุด ซึ่งแบบรูปการแผ่กระจายพลังงานทั้งสองระนาบนั้นเป็นการพล็อตในเชิงขั้ว โดยมีการเปลี่ยนแปลงค่า  $\theta$  หรือ  $\phi$  และคงที่ค่า  $\phi$  และ  $\theta$  ตามลำดับ ดังแสดงในรูปที่ 2.17



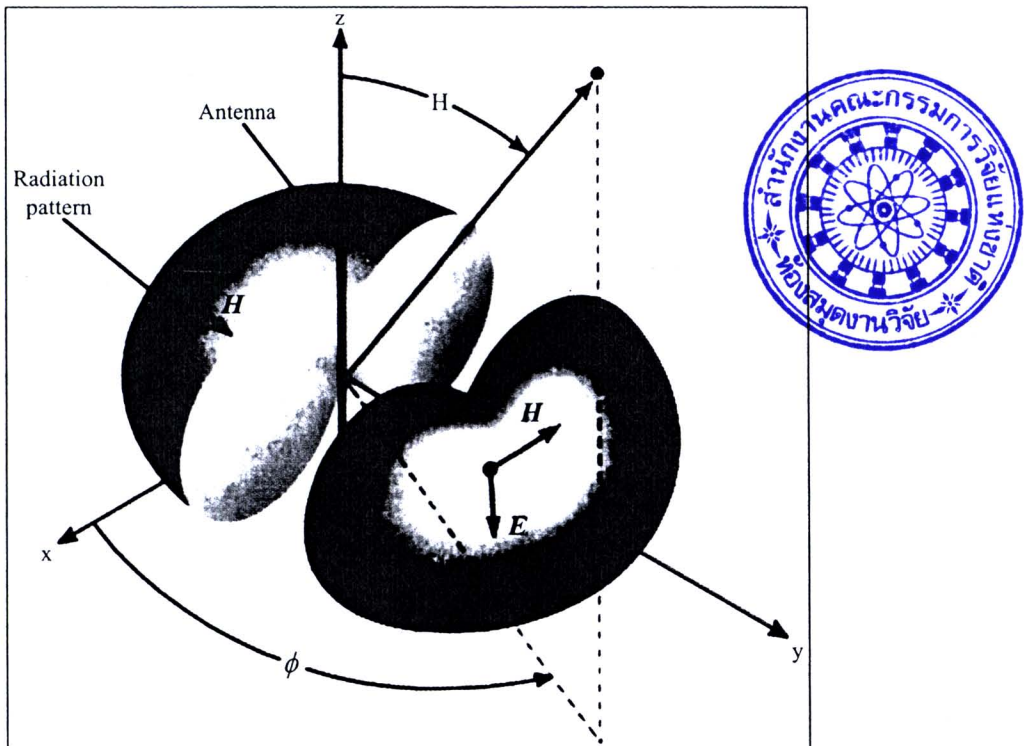
รูปที่ 2.17 แสดงระบบพิกัดที่ใช้แสดงคุณสมบัติของการแผ่กระจายพลังงานของคลื่น

ซึ่งการวิเคราะห์คุณลักษณะในเชิงขั้วของสายอากาศเป็นการแสดงแบบรูปการแผ่กระจายพลังงานของสายอากาศ โดยให้ระนาบแอซิมัทคงที่และทำการเปลี่ยนแปลงในระนาบของมุมเงย (เปลี่ยนแปลงค่า  $\theta$ ) ซึ่งสัมพันธ์กับระนาบสนามไฟฟ้า ส่วนการแสดงแบบรูปการแผ่กระจายพลังงานของสายอากาศ โดยให้ระนาบของมุมเงยคงที่ที่มีการแผ่กระจายพลังงานสูงสุดนั้นคือ  $\theta = 90^\circ$  และทำการเปลี่ยนแปลงในระนาบของแอซิมัท (เปลี่ยนแปลงค่า  $\phi$ ) ซึ่งสัมพันธ์กับระนาบสนามแม่เหล็ก โดยสามารถแสดงได้ดังรูปที่ 2.18 ซึ่งเป็นการแสดงแบบรูปการแผ่กระจายพลังงานของสายอากาศไดโพลแบบครึ่งคลื่นในระนาบสามมิติ และแบบรูปการแผ่กระจายพลังงานในระนาบสองมิติ โดยเปลี่ยนแปลงค่า  $\theta$  โดยให้  $\phi = 0^\circ$  และเปลี่ยนแปลงค่า  $\phi$  โดยให้  $\theta = 90^\circ$  ตามลำดับ ซึ่งเมื่อมีการพิจารณาร่วมกันทั้งในระนาบสามมิติและระนาบสองมิติแล้วจะทำให้เข้าใจมากยิ่งขึ้น และพบว่าแบบรูปการแผ่กระจายพลังงานสูงสุดอยู่ที่  $\theta = 90^\circ$  สำหรับทุก ๆ การเปลี่ยนแปลงค่า  $\phi$  ในระนาบของแอซิมัท และค่าที่เป็นศูนย์ของแบบรูปการแผ่กระจายพลังงานอยู่ในส่วนปลายของไดโพลตามแนวแกน  $z$  (หรือที่  $\theta = 0^\circ$  และ  $180^\circ$ )



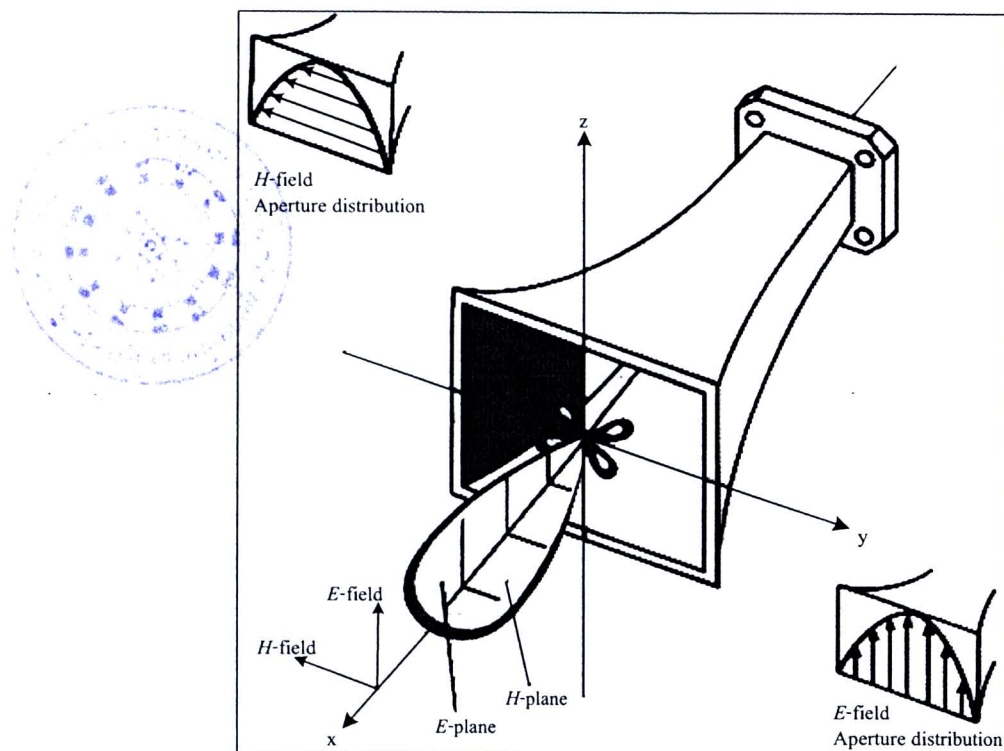
รูปที่ 2.18 แบบรูปการแผ่กระจายพลังงานของสายอากาศไดโพลแบบครึ่งคลื่นในระนาบสามมิติ และแบบรูปการแผ่กระจายพลังงานในระนาบสองมิติ

ซึ่งแบบรูปการแผ่กระจายพลังงานของสายอากาศแบ่งออกเป็นสองลักษณะคือ สายอากาศที่มีการแผ่กระจายพลังงานแบบไอโซทรอปิก (isotropic radiator) และสายอากาศที่มีแบบรูปการแผ่กระจายพลังงานแบบมีทิศทาง (directional antenna) โดยสายอากาศแบบไอโซทรอปิกคือสายอากาศที่ถูกสมมุติขึ้น โดยมีคุณสมบัติของการแผ่กระจายพลังงานของคลื่นเท่ากันในทุกทิศทาง ยกตัวอย่างเช่น แหล่งกำเนิดแบบจุด (point source) เป็นสายอากาศแบบหนึ่ง ที่ไม่สามารถสร้างจริงได้ แต่มักใช้เพื่อเป็นตัวเปรียบเทียบกับสายอากาศจริงเกี่ยวกับการแสดงคุณสมบัติ แสดงทิศทางของสายอากาศ ตัวอย่างของสายอากาศที่มีคุณสมบัติดังกล่าวคือ สายอากาศแบบรอบทิศทางในระนาบเดียว (omni-directional antenna) คือสายอากาศแบบไดโพลความยาวครึ่งคลื่น เนื่องจากในความเป็นจริงแล้วสายอากาศไดโพลความยาวครึ่งคลื่นจะมีแบบรูปการแผ่กระจายพลังงานแบบรอบตัวในระนาบเดียว (omni-directional pattern) โดยมีแบบรูปการแผ่กระจายพลังงานที่ไม่มีทิศทางในระนาบที่กำหนดให้ ในที่นี้คือมุมแอสซิมาท (azimuth) นั่นเอง และระนาบที่อยู่ตั้งฉากกันจะมีแบบรูปการแผ่กระจายพลังงานเป็นแบบมีทิศทาง ซึ่งคือมุมเงย (elevation) โดยคุณสมบัติของการแผ่กระจายพลังงานของสายอากาศแบบนี้แสดงได้ดังรูปที่ 2.19



รูปที่ 2.19 แบบรูปของสายอากาศแบบรอบทิศทางในระนาบเดียว

โดยจากรูปที่ 2.19 จะเห็นได้ว่าแบบรูปการแผ่พลังงานของสายอากาศแบบนี้ ไม่มีทิศทางในระนาบแนวราบ (azimuth plane,  $[f(\phi), \theta = \pi/2]$ ) แต่เป็นแบบชี้ทิศทางในระนาบแนวตั้ง (elevation plane,  $[\theta = 0, \phi = \text{ค่าคงที่}]$ ) แบบรูปสายอากาศแบบรอบทิศทางในระนาบเดียวนี้ เป็นกรณีพิเศษของแบบรูปสายอากาศแบบมีทิศทาง ส่วนสายอากาศที่มีแบบรูปการแผ่กระจายพลังงานแบบมีทิศทาง (directional antenna) นั้นจะมีแบบรูปการแผ่กระจายคลื่นหลัก (principal pattern) ในเทอมของสนามไฟฟ้า และสนามแม่เหล็ก ซึ่งเป็นสายอากาศที่มีคุณสมบัติของการส่งหรือรับคลื่นแม่เหล็กไฟฟ้าได้ดีในเฉพาะทิศทางที่กำหนดเท่านั้น เช่น สายอากาศโพลาไรเซชันแบบเชิงเส้น (linearly polarization) แบบรูปการแผ่กระจายคลื่นในระนาบสนามไฟฟ้าจะเป็นระนาบที่บรรจุเวกเตอร์สนามไฟฟ้า และมีทิศทางของการแผ่พลังงานของคลื่นสนามไฟฟ้าที่แรงที่สุด ส่วนแบบรูปการแผ่กระจายคลื่นในระนาบแม่เหล็กจะเป็นระนาบที่บรรจุเวกเตอร์สนามแม่เหล็ก และมีทิศทางของการแผ่พลังงานของคลื่นสนามแม่เหล็กที่แรงที่สุด ตัวอย่างการแสดงผลแบบรูปการแผ่กระจายคลื่นหลัก โดยมีระนาบ  $x-z$  (ระนาบแนวราบ  $\theta = \pi/2$ ) หรือระนาบสนามไฟฟ้าเป็นหลัก ดังแสดงในรูปที่ 2.20

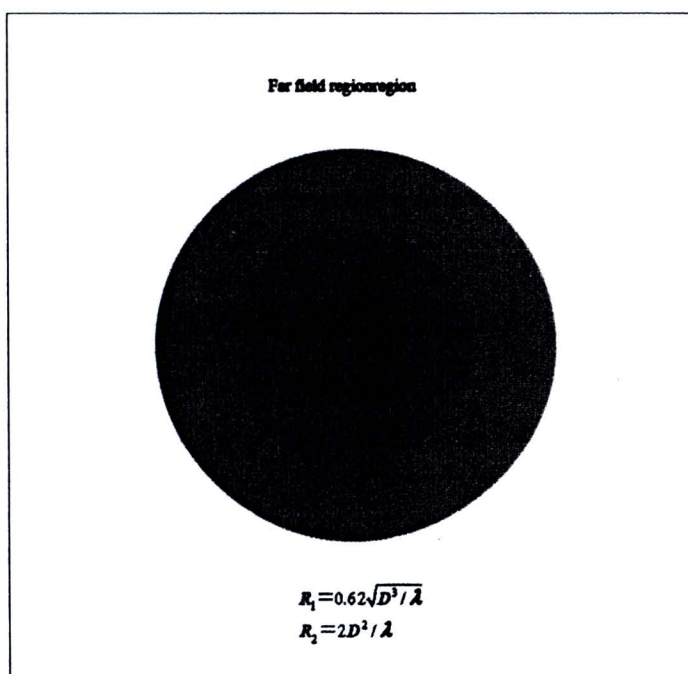


รูปที่ 2.20 แบบรูปการแผ่กระจายพลังงานแบบมีทิศทาง โดยมีแบบรูปการแผ่กระจายคลื่นหลักในระนาบสนามไฟฟ้าและระนาบแม่เหล็กของสายอากาศปากแตร

โดยแบบรูปการแผ่กระจายพลังงานนี้เป็นตัวบ่งบอกสำหรับการเลือกสายอากาศไปประยุกต์ใช้งาน ตัวอย่างเช่น การประยุกต์ใช้กับดาวเทียมหรือการเชื่อมต่อสำหรับการรับส่งข้อมูลระหว่างจุดจะต้องเลือกใช้สายอากาศที่มีสภาพเจาะจงทิศทางสูง มีแบบรูปการแผ่กระจายพลังงานไปในทิศทางที่เจาะจงรู้ตำแหน่งที่แน่นอน ส่วนการสื่อสารของเทคโนโลยีอัลตราไวด์แบนด์จะต้องใช้สายอากาศที่มีแบบรูปการแผ่กระจายพลังงานแบบรอบตัว เป็นต้น ดังนั้นการแผ่กระจายพลังงานจะต้องแพร่กระจายออกอย่างสม่ำเสมอโดยรอบของผู้ใช้ที่เหมาะสมที่สุด โดยมีมาตรฐานที่ยอมรับกันเป็นสากล ซึ่งสถาบันวิศวกรรมไฟฟ้าและอิเล็กทรอนิกส์นานาชาติ (The Institute of Electrical and Electronics Engineers : IEEE) ได้กำหนดในส่วนของแบบรูปการแผ่กระจายพลังงานของสายอากาศไว้เป็นฟังก์ชันทางคณิตศาสตร์หรือกราฟที่เป็นการแสดงถึงคุณสมบัติการแผ่กระจายพลังงานของสายอากาศ เป็นฟังก์ชันของพิกัดเชิงตำแหน่ง

บริเวณสนามของสายอากาศจะถูกแบ่งออกเป็น 3 บริเวณ คือ บริเวณแรกเป็นสนามระยะใกล้รีแอกทีฟ (reactive near field region) เป็นบริเวณสนามที่ล้อมรอบใกล้สายอากาศมากที่สุด ซึ่งสนามที่เกิดขึ้นบริเวณนี้จะเป็นสนามรีแอกทีฟเป็นส่วนใหญ่ โดยบริเวณนี้จะมีระยะทางคือ

$R < 0.62\sqrt{D^3/\lambda}$  จากผิวของสายอากาศ เมื่อ  $\lambda$  เป็นความยาวคลื่น และ  $D$  เป็นมิติที่ยาวที่สุดของสายอากาศ บริเวณที่สองเป็นสนามระยะใกล้ที่มีการแผ่ (radiating near field region) เป็นบริเวณสนามของสายอากาศที่เกิดขึ้นระหว่างบริเวณสนามระยะใกล้รีแอกทีฟกับบริเวณแผ่พลังงานสนามระยะไกล โดยมีสนามที่กระจายอยู่เป็นส่วนใหญ่ และการกระจายของสนามตามมุมต่าง ๆ นั้น จะแปรผันตามระยะทางจากสายอากาศซึ่งถ้าขนาดที่ใหญ่ที่สุดของสายอากาศมีขนาดเล็กกว่าความยาวคลื่นสนามบริเวณนี้จะไม่เกิดขึ้น และในบริเวณนี้จะมีระยะทาง  $0.62\sqrt{D^3/\lambda} < R < 2D^2/\lambda$  สุดท้ายคือบริเวณสนามระยะไกล (far field region) เป็นบริเวณสนามของสายอากาศที่มีการกระจายของสนามเชิงมุมไม่ขึ้นกับระยะทางที่ห่างออกมาจากตัวสายอากาศ โดยถ้าสายอากาศมีมิติใหญ่สุดเท่ากับ  $D$  บริเวณแผ่พลังงานสนามไกล จะเกิดขึ้นที่ระยะทาง  $R > 2D^2/\lambda$  จากสายอากาศ ซึ่งบริเวณสนามสำหรับการพิจารณาแบบรูปการแผ่กระจายพลังงานส่วนใหญ่ นั้นจะต้องกระทำในสนามระยะไกล และเป็นการอธิบายถึงลักษณะฟังก์ชันของพิกัดเชิงทิศทางเสมอ ซึ่งคุณลักษณะการแผ่กระจายพลังงานประกอบด้วย ความหนาแน่นของเส้นแรงกำลัง (power flux density) ความหนาแน่นของพลังงานที่แผ่กระจาย (radiation power density) ความเข้มของสนาม (field intensity) สภาพเจาะจงทิศทาง (directivity) เฟสของการชี้หน้า (directivity phase) หรือการแยกขั้วคลื่น (polarization) โดยบริเวณสนามของสายอากาศที่ถูกแบ่งออกเป็น 3 บริเวณนั้นแสดงได้ดังรูปที่ 2.21



รูปที่ 2.21 การแบ่งบริเวณของสนามจากสายอากาศที่ต้องการพิจารณา

### 2.7.3 อัตราขยาย

การวัดอัตราขยายของสายอากาศเป็นความสัมพันธ์เชิงเส้นกับการวัดสภาพเจาะจงทิศทาง ตลอดจนประสิทธิภาพการแผ่กระจายพลังงานของสายอากาศ โดยอัตราขยายจริงของสายอากาศเป็นอัตราส่วนของความเข้มของการแผ่กระจายพลังงานในทิศทางที่กำหนดให้ ต่อความเข้มของการแผ่กระจายพลังงานที่ได้รับเข้ามา สามารถแสดงได้ดังสมการที่ (2.38)

$$G = 4\pi \frac{U(\theta, \phi)}{P_m} \quad (2.38)$$

โดยถ้าพลังงานที่รับเข้ามาโดยสายอากาศนั้นมีการแผ่กระจายพลังงานในลักษณะของไอโซทรอปิกแล้ว ความเข้มของการแผ่กระจายพลังงานในลักษณะนี้จะมีค่าเท่ากับพลังงานที่สายอากาศรับเข้ามาที่ขั้วอินพุตหารด้วย  $4\pi$  ส่วนอัตราขยายสัมพัทธ์เป็นอัตราส่วนของอัตราขยายพลังงานในทิศทางที่กำหนดให้ ต่ออัตราขยายพลังงานของสายอากาศที่ใช้เปรียบเทียบในทิศทางนั้น ซึ่งพลังงานที่ป้อนให้กับอินพุตของสายอากาศจะต้องเหมือนกันทั้งสองตัว โดยส่วนใหญ่สายอากาศที่ใช้ในการเปรียบเทียบนั้นจะเป็นสายอากาศที่เป็นแหล่งกำเนิดไอโซทรอปิก ที่ไม่มีการสูญเสีย ดังนั้นจะได้ดังสมการที่ (2.39)

$$G = 4\pi \frac{U(\theta, \phi)}{P_m (\text{isotropic Source})} \quad (2.39)$$

### 2.7.4 ความกว้างแถบ

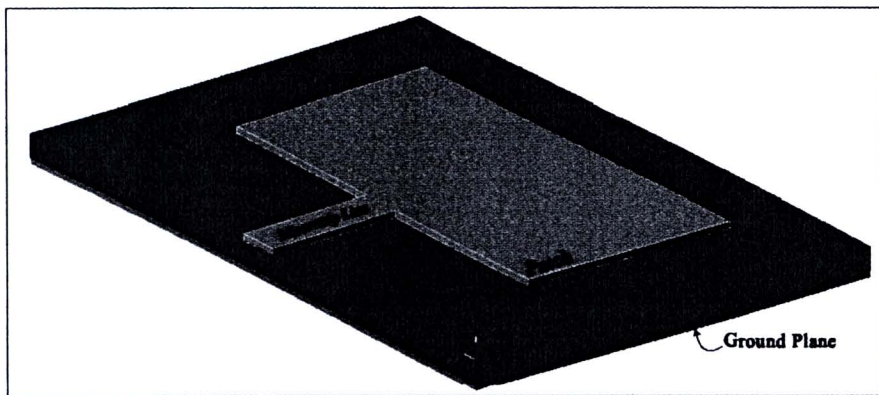
ความกว้างแถบของสายอากาศ (bandwidth) คือ ย่านของความถี่ที่ยังอยู่ในสภาวะที่สายอากาศยังสามารถทำงานได้ โดยความกว้างแถบจะพิจารณาจากช่วงระหว่างความถี่ที่ต่ำกว่าและสูงกว่าความถี่กลาง ซึ่งสภาวะการทำงานของสายอากาศที่ยอมรับได้นั้นจะต้องสามารถทำงานได้ตลอดย่านความถี่นั้น ในกรณีที่เป็นสายอากาศแถบกว้าง ความกว้างแถบมักจะแสดงในรูปของอัตราส่วนระหว่างความถี่สูงสุดกับความถี่ต่ำสุดที่สายอากาศยังสามารถทำงานได้ และในกรณีที่ เป็นสายอากาศแถบแคบ ความกว้างแถบมักจะแสดงในรูปของเปอร์เซ็นต์ของผลต่างความถี่ เมื่อเทียบกับความถี่กลางของความถี่แถบ และเนื่องจากคุณลักษณะของสายอากาศ ที่ถูกใช้ในการพิจารณาความถี่แถบไม่จำเป็นต้องเปลี่ยนแปลงหรือมีผลต่อความถี่เหมือนกัน จึงไม่มีการกำหนดคุณลักษณะเฉพาะเพื่อใช้ในการหาความถี่แถบของสายอากาศ ดังนั้นวิธีการกำหนดความถี่แถบ จึงมักจะแบ่งตามกลุ่มของคุณลักษณะต่าง ๆ ที่ใช้ในการพิจารณา คือ ความถี่แถบ

จากแบบรูปการแผ่พลังงาน ซึ่งเป็นความกว้างแถบที่พิจารณาจากระดับของโพลด้านข้าง ความกว้างลำคลื่น การแยกขั้วคลื่น และทิศทางของลำคลื่น ส่วนความกว้างแถบจากค่าอิมพีแดนซ์ เป็นความกว้างแถบที่พิจารณาจาก ค่าอินพุทอิมพีแดนซ์ และค่าประสิทธิภาพของการแผ่กระจายพลังงาน

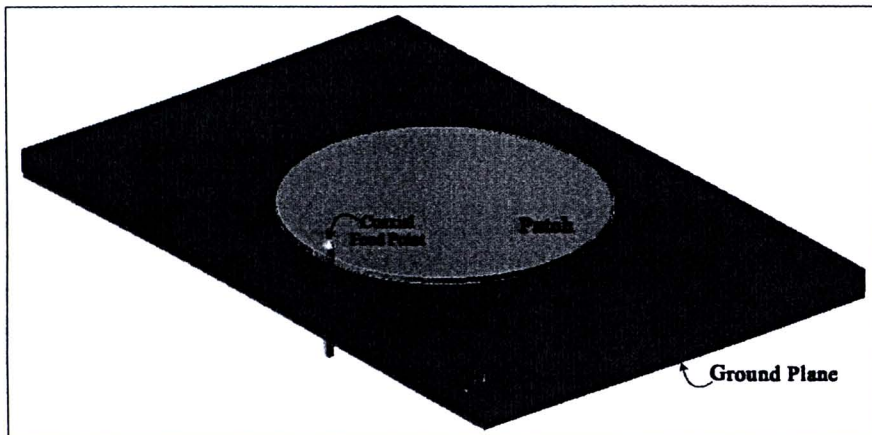
## 2.8 สายอากาศแบบไมโครสตริปแพตช์

สำหรับการพัฒนาระบบสื่อสารแบบไร้สายและโทรศัพท์เคลื่อนที่นั้น แนวทางการออกแบบสายอากาศที่ใช้มีความแตกต่างกันไปขึ้นอยู่กับรูปแบบของอุปกรณ์ที่ต้องการใช้งานร่วมกับสายอากาศ ซึ่งยากที่จะกำหนดเป็นกฎเกณฑ์ที่ตายตัว ในปัจจุบันสายอากาศที่ถูกนำมาใช้งานในระบบการสื่อสารแบบไร้สายมากที่สุดคือสายอากาศแบบ โมโนโพล (monopole antenna) สายอากาศแบบปลอก (sleeve antenna) และสายอากาศแบบสัญญาณต่ำ (low-profile antenna) เช่นสายอากาศไมโครสตริปแพตช์ และสายอากาศระนาบอินเวอร์สเอฟ (planar inverted F antenna : PIFA) ซึ่งทั้งสามแบบนี้นิยมนำมาใช้งานสำหรับการสื่อสารแบบไร้สาย โดยสายอากาศแบบแรกคือสายอากาศแบบโมโนโพลนิยม ซึ่งเป็นสายอากาศที่นิยมนำมาใช้งานมากที่สุดเพราะสายอากาศมีคุณลักษณะเป็นสายอากาศแถบกว้าง (broadband) เป็นสายอากาศที่มีโครงสร้างไม่ยุ่งยากซับซ้อนมากนัก หรือบางครั้งสายอากาศชนิดนี้จะถูกเรียกว่าสายอากาศแบบแส้ (whip antenna) โดยส่วนประกอบของสายอากาศที่ทำหน้าที่แผ่กระจายคลื่นนั้นจะถูกติดตั้งอยู่บนระนาบกราวด์แบบอนันต์ ซึ่งสายอากาศชนิดนี้จะมีคุณลักษณะคล้ายกับสายอากาศไดโพล แต่ไม่ได้หมายความว่ามีความยาวเป็นครึ่งหนึ่งของสายอากาศแบบไดโพล เนื่องจากในทางปฏิบัติสายอากาศโมโนโพลมีความยาวไม่ใช่ครึ่งหนึ่งของสายอากาศไดโพล ส่วนสายอากาศแบบที่สองคือสายอากาศแบบปลอกมีโครงสร้างของการแผ่กระจายคลื่นเป็นไดโพลแบบไม่สมมาตร และมีเส้นผ่านศูนย์กลางของตัวนำที่มีขนาดแตกต่างกัน โดยขนาดที่เล็กสุดของตัวนำจะเท่ากับตัวนำภายในสายโคแอกเซียลที่ป้อนให้กับสายอากาศ และขนาดที่ใหญ่จะมากกว่าเส้นผ่านศูนย์กลางตัวนำซึ่งจะถูกลัดวงจรกับลวดถักที่เป็นตาข่ายอยู่รอบ ๆ สายโคแอกเซียลสายอากาศนี้มีคุณลักษณะเหมือนกับสายอากาศโมโนโพล ที่ไม่ต้องมีระนาบกราวด์แต่การที่ไม่มีระนาบกราวด์นั้นมีข้อเสียเมื่อนำไปใช้งาน โดยที่ต้องนำไปติดตั้งเข้ากับส่วนต่าง ๆ ที่เป็นโลหะทำให้อัตราการขยายของสายอากาศลดลง ข้อเสียอีกอย่างของสายอากาศแบบแส้และสายอากาศแบบปลอกคือโครงสร้างไม่แข็งแรงหักง่าย และไม่สะดวกต่อการนำไปประยุกต์ใช้งาน สุดท้ายคือสายอากาศแบบไมโครสตริปแพตช์ โดยสายอากาศชนิดนี้มีโครงสร้างสามส่วนคือ ส่วนบนเป็นส่วนที่ใช้สำหรับการแผ่กระจายคลื่น โดยมีส่วนที่สองเป็นวัสดุฐานรองไดอิเล็กตริกที่ชั้นกลางระหว่างระนาบกราวด์กับส่วนของการแผ่กระจายคลื่นที่เป็นแผ่นตัวนำ แต่สายอากาศทั้งแบบไมโครสตริปและสายอากาศแบบอินเวอร์สเอฟ มีข้อเสียคล้ายกันคือ เป็นสายอากาศที่มีความกว้างแถบแคบมาก

สายอากาศไมโครสตริป (microstrip antenna) จะประกอบไปด้วยส่วนที่เป็นแผ่นหรือที่เรียกว่าแพตช์ซึ่งเป็นตัวนำ โดยทั่วไปจะมีรูปร่างเป็นสี่เหลี่ยมมุมฉากหรือวงกลม ซึ่งถูกแยกออกจากแผ่นระนาบกราวด์ (เป็นเศษส่วนของความยาวคลื่น) และมีลักษณะเป็นชั้นหรือที่เรียกว่าเป็นวัสดุฐานรอง (substrate) ของสารไดอิเล็กตริก ซึ่งสายอากาศแบบไมโครสตริปนี้ได้รับความนิยมอย่างมากสำหรับการนำมาประยุกต์ใช้งาน เนื่องจากมีลักษณะแบนราบ ไม่ต้านลม และสามารถติดกับผิวของยานพาหนะได้ นอกจากนี้ยังมีข้อดีในแง่ที่ราคาถูก น้ำหนักเบา และมีความสะดวกในการสร้างและการติดตั้ง โดยโครงสร้างพื้นฐานของสายอากาศแบบไมโครสตริปสามารถแสดงได้ดังรูปที่ 2.22



ก. แพตช์ของไมโครสตริปที่ป้อนผ่านสายนำสัญญาณไมโครสตริป

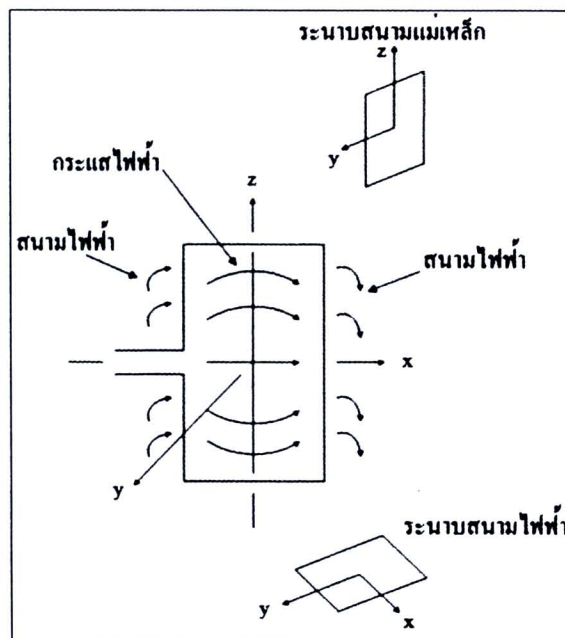


ข. แพตช์ของไมโครสตริปวงกลมที่มีการป้อนผ่านสายนำสัญญาณไมโครสตริป

รูปที่ 2.22 ลักษณะการป้อนสัญญาณของสายอากาศไมโครสตริปรูปสี่เหลี่ยมและรูปวงกลม

โดยจากรูปที่ 2.22 ก. และรูปที่ 2.22 ข. เป็นการแสดงลักษณะ โครงสร้างของสายอากาศ ไมโครสตริปแพตช์รูปสี่เหลี่ยมมุมฉากและรูปวงกลม ซึ่งสายอากาศดังกล่าวนี้มีความสะดวกในการสร้างลงในแผ่นวงจรพิมพ์ โดยแพตช์จะถูกวางไว้ด้านหนึ่งของแผ่นวงจรพิมพ์ และอีกด้านหนึ่งจะทำหน้าที่เป็นแผ่นระนาบกราวด์ (ground plane) รูปที่ 2.22 ก. เป็นแพตช์รูปสี่เหลี่ยมมุมฉาก โดยสัญญาณความถี่วิทยุจะถูกป้อนเข้าที่สายป้อนสัญญาณที่เป็นสตริปโลหะแคบ ๆ และในรูปที่ 2.22 ข. แสดงแพตช์รูปวงกลมที่ป้อนด้วยตัวนำผ่านช่องในระนาบกราวด์ ซึ่งการป้อนสัญญาณในลักษณะนี้จะเรียกว่าการเชื่อมต่อแบบช่องเปิดผ่านช่องเปิดเล็ก ๆ ในระนาบกราวด์

สำหรับสายอากาศไมโครสตริปนั้น ความแม่นยำของค่าคงที่ไดอิเล็กตริกของวัสดุฐานรองถือว่ามีความสำคัญมาก เนื่องจากเป็นพารามิเตอร์สำคัญที่มีผลต่อการเดินทางของคลื่นความถี่เรโซแนนซ์ และคุณลักษณะการแผ่กระจายคลื่นของสายอากาศ โดยการแสดงคุณลักษณะของแพตช์รูปสี่เหลี่ยมมุมฉาก (characteristics of a rectangular patch) แสดงได้ดังรูปที่ 2.23 ซึ่งเป็นการแสดงกระแสไฟฟ้า และเส้นแรงของสนามไฟฟ้าทั้งภายในและบริเวณรอบ ๆ แพตช์ โดยปกติสนามไฟฟ้าที่บริเวณขอบของแพตช์ที่ถูกต่อด้วยสายนำสัญญาณและด้านตรงข้ามขอบนั้น จะมีผลต่อคุณสมบัติการแผ่กระจายคลื่นของสายอากาศคลื่นที่แผ่กระจายจากสายอากาศในรูปที่ 2.23 จะมีการโพลาไรซ์ในแนวนอน ซึ่งระนาบของสนามไฟฟ้า (E-plane) จะมีทิศทางในแนวนอน และระนาบของสนามแม่เหล็ก (H-plane) จะมีทิศทางในแนวตั้ง



รูปที่ 2.23 กระแสไฟฟ้าและลักษณะเส้นแรงไฟฟ้าที่เกิดขึ้นบนแพตช์

โดยอินพุตอิมพีแดนซ์ของสายอากาศแพทช์รูปสี่เหลี่ยมมุมฉากที่มียาว  $\lambda/2$  จะแสดงในรูปของค่าความต้านทานที่มีคุณสมบัติของการแผ่กระจายคลื่นที่ดี ซึ่งค่าความต้านทานที่อินพุตที่ความถี่เรโซแนนซ์ (Balanis, 1997) สามารถคำนวณได้จากสมการที่ (2.40)

$$R_{in} = \frac{1}{2G_1} \quad (2.40)$$

เมื่อ  $G_1$  คือ ค่าความนำ (conductance) โดยมีเงื่อนไขดังนี้

$$G_1 = \frac{1}{90} \left( \frac{W}{\lambda_0} \right)^2 \quad W \ll \lambda_0 \quad (2.41)$$

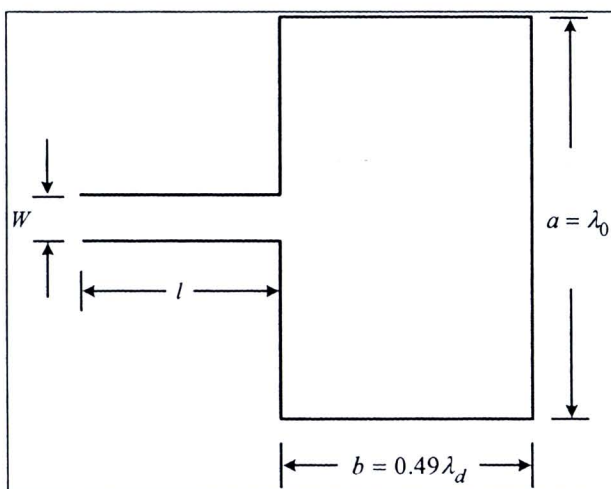
$$G_1 = \frac{1}{120} \left( \frac{W}{\lambda_0} \right)^2 \quad W \ll \lambda_0 \quad (2.42)$$

โดยที่  $W$  เป็นความกว้างสายอากาศ

$\lambda_0$  เป็นความยาวคลื่นในช่องว่างอิสระ

สำหรับการป้อนสัญญาณให้กับสายอากาศไมโครสตริปนั้น ตัวป้อนสัญญาณที่นำมาต่อกับสายอากาศควรมีค่าอิมพีแดนซ์ของสายเท่ากับค่าอินพุตอิมพีแดนซ์ของสายอากาศด้วย โดยสายนำสัญญาณที่จะต่อเข้ากับเครื่องมือวัดและทดสอบสายอากาศนั้นส่วนใหญ่มีอิมพีแดนซ์ 50 โอห์ม จึงจำเป็นต้องทำการแมตช์อินพุตอิมพีแดนซ์ของสายอากาศไมโครสตริปแพทช์ เพื่อให้มีอิมพีแดนซ์เท่ากับ 50 โอห์ม ซึ่งในการออกแบบสายอากาศไมโครสตริปแพทช์นั้น มีพารามิเตอร์ที่จำเป็นสำหรับใช้ในการออกแบบ ได้แก่ ความถี่ปฏิบัติงานของสายอากาศ ( $f_c$ ) หรือความถี่เรโซแนนซ์ ( $f_r$ ) ค่าคงที่ไดอิเล็กตริกสัมพัทธ์ของวัสดุฐานรอง (dielectric constant :  $\epsilon_r$ ) และความสูงของไดอิเล็กตริกหรือวัสดุฐานรอง (h) ยกตัวอย่าง เช่น การออกแบบสายอากาศไมโครสตริปแพทช์รูปสี่เหลี่ยมมุมฉากได้แบ่งเป็นสองส่วนคือ การออกแบบสายอากาศแพทช์และการออกแบบการป้อนสัญญาณ (รังสรรค์ วงศ์สรรค์, 2548) โดยสามารถหาความกว้าง (a) และความยาว (b) ของสายอากาศไมโครสตริปแพทช์ได้ดังรูปที่ 2.24 ซึ่งแสดงมิติพื้นฐานของสายอากาศไมโครสตริปแพทช์รูปสี่เหลี่ยมมุมฉาก โดยที่ค่าความนำของสายอากาศแบบไมโครสตริปแพทช์นั้นจะเป็นฟังก์ชันของความกว้าง (a) และ

ความถี่เรโซแนนซ์จะเป็นฟังก์ชันของความยาว ( $b$ ) ซึ่งกำหนดได้ดังสมการที่ (2.43) และสมการที่ (2.44) ตามลำดับ



รูปที่ 2.24 ตัวอย่างสายอากาศไมโครสตริปพื้นฐานรูปสี่เหลี่ยมมุมฉาก

$$a = \lambda_d = \frac{\lambda_0}{\sqrt{\epsilon_r}} \quad (2.43)$$

$$b = 0.49\lambda_d = 0.49 \frac{\lambda_0}{\sqrt{\epsilon_r}} \quad (2.44)$$

โดยที่  $\lambda_d$  คือความยาวคลื่นในสารไดอิเล็กตริก  
 $\lambda_0$  คือความยาวคลื่นในอากาศอิสระ  
 $\epsilon_r$  คือค่าคงที่ไดอิเล็กตริกสัมพัทธ์ของวัสดุฐานรอง

โดยการป้อนสัญญาณให้กับสายอากาศไมโครสตริปนั้นสามารถทำได้หลายวิธี แต่ที่นิยมใช้มีอยู่ด้วยกัน 4 วิธี คือ สายนำสัญญาณแบบไมโครสตริป (microstrip line) สายนำสัญญาณแบบโคแอกเซียล (coaxial line) โพรบแบบโคแอกเซียล (coaxial probe) และการเหนี่ยวนำผ่านช่องเปิด (aperture coupling) ซึ่งในงานวิจัยนี้ได้ใช้การป้อนโดยใช้สายนำสัญญาณแบบไมโครสตริป

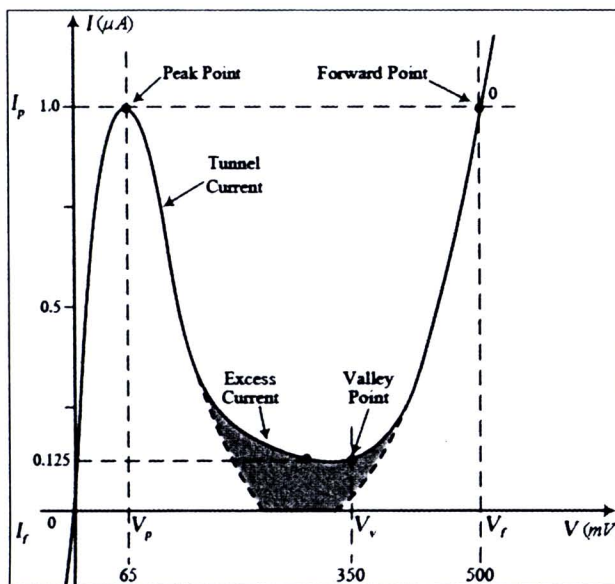
## 2.9 โครงสร้างและทฤษฎีของการกำเนิดพัลส์

เครื่องรับส่งสำหรับเทคโนโลยีการสื่อสารอัลตราไวด์แบนด์นั้นมีส่วนประกอบที่สำคัญคือ วงจรกำเนิดสัญญาณพัลส์และสายอากาศแบนด์กว้าง โดยส่วนนี้เป็นส่วนของการออกแบบพัฒนา วงจรกำเนิดสัญญาณพัลส์ ซึ่งรูปแบบของสัญญาณพัลส์ที่สามารถนำมาประยุกต์ใช้งานได้นั้นมี หลากหลายลักษณะ แต่สำหรับการวิจัยฉบับนี้จะเลือกพิจารณาเฉพาะรูปแบบของพัลส์ที่นิยมใช้กัน อย่างแพร่หลายคือ สัญญาณพัลส์แบบเกาส์สัญญาณเกาส์เชียน โมโนไซเคิลพัลส์ และสัญญาณแบบ เกาส์เชียนดับเลตพัลส์ โดยเครื่องกำเนิดสัญญาณพัลส์นั้นต้องมีประสิทธิภาพและมีคุณสมบัติที่ เหมาะสมกับความต้องการและข้อกำหนดของ FCC เพื่อให้สามารถประยุกต์ใช้งานกับระบบของ เทคโนโลยีการสื่อสารอัลตราไวด์แบนด์ได้ นั่นคือเครื่องกำเนิดสัญญาณพัลส์จะต้องมีช่วงกว้าง พัลส์ที่แคบมาก และมีพลังงานเพียงพอต่อการใช้งานของระบบ โดยสัญญาณพัลส์ที่ออกมาจาก เครื่องกำเนิดสัญญาณพัลส์นั้นต้องมีรูปร่างของสัญญาณพัลส์ที่ดี มีความผิดเพี้ยนของสัญญาณและมีการ แกว่งของสัญญาณพัลส์น้อยเมื่อเทียบกับสัญญาณพัลส์ที่ต้องการ โดยที่พลังงานและรูปร่างของ พัลส์มีการเปลี่ยนแปลงน้อยที่สุด เนื่องจากเครื่องกำเนิดสัญญาณพัลส์สำหรับเทคโนโลยีอัลตราไวด์ แบนด์นั้นต้องสามารถนำไปประยุกต์ใช้งานได้หลากหลาย และถ้าสัญญาณพัลส์ที่มีช่วงกว้างพัลส์ กว้างแล้วจะส่งผลให้สัญญาณพัลส์มีส่วนประกอบของความถี่ต่ำมากเมื่ออยู่ในโดเมนความถี่ ซึ่ง สัญญาณที่มีความถี่ต่ำนี้สามารถทำให้สัญญาณพัลส์แพร่กระจายเข้าไปในตัวกลางที่มีการสูญเสียได้ ลึกมากกว่าสัญญาณพัลส์ที่มีส่วนประกอบของความถี่สูง

วิธีกำเนิดสัญญาณพัลส์เพื่อประยุกต์ใช้งานกับเทคโนโลยีการสื่อสารอัลตราไวด์แบนด์ นั้นมีหลากหลายรูปแบบ โดยคุณลักษณะที่สำคัญของเครื่องกำเนิดสัญญาณพัลส์สำหรับ เทคโนโลยีการสื่อสารอัลตราไวด์แบนด์นั้นได้แก่ กำลังสูงสุดของพัลส์ด้านออก ช่วงกว้างพัลส์ และรูปร่างของพัลส์ โดยวงจรกำเนิดพัลส์นี้สามารถแบ่งออกเป็นสองลักษณะคือ การกำเนิดสัญญาณ พัลส์เพื่อประยุกต์ใช้ด้านกำลังสูง และการกำเนิดสัญญาณพัลส์เพื่อประยุกต์ใช้ด้านกำลังต่ำ เนื่องจากการ นำเทคโนโลยีอัลตราไวด์แบนด์ไปใช้งานมีสองกรณีหลัก ๆ คือ ในกรณีของการใช้งานสำหรับการ ตรวจสอบหรือการตรวจจับสนั้นจะใช้พลังงานสูง และในกรณีของการใช้งานสำหรับการสื่อสาร นั้นจะใช้พลังงานต่ำ โดยที่ช่วงกว้างพัลส์ที่นำมาพิจารณาสำหรับการออกแบบและสร้างเครื่อง กำเนิดสัญญาณพัลส์ของเทคโนโลยีอัลตราไวด์แบนด์นั้นสามารถแบ่งออกเป็นสองช่วงคือ ช่วง ความกว้างพัลส์ในระดับนาโนวินาที และช่วงความกว้างพัลส์ในระดับพิโกวินาที โดยช่วงความกว้าง ของพัลส์ในระดับนาโนวินาทีนั้นจะสัมพันธ์กับความถี่ใช้งานที่มีแบนด์วิดท์ต่ำกว่า 1 GHz และช่วง ความกว้างพัลส์ในระดับพิโกวินาทีนั้นจะสัมพันธ์กับความถี่ใช้งานที่มีแบนด์วิดท์สูงกว่า 1 GHz ส่วนสุดท้ายที่จำเป็นต้องนำมาพิจารณาสำหรับการสร้างเครื่องกำเนิดสัญญาณพัลส์ของเทคโนโลยี อัลตราไวด์แบนด์คือ รูปร่างของพัลส์ซึ่งพัลส์ที่นิยมใช้ในระบบการสื่อสารอัลตราไวด์แบนด์ ได้แก่

รูปร่างพัลส์ที่เป็นฟังก์ชันแบบขั้นบันได (step function) รูปร่างพัลส์แบบเกาส์เซียน (Gaussian pulse) และรูปร่างพัลส์แบบโมนไซเคิล (monocycle pulse)

ที่ผ่านมากการกำเนิดสัญญาณพัลส์สำหรับเทคโนโลยีการสื่อสารอัตราเร็วสูงนั้น นิยมใช้อุปกรณ์สองชนิดคือ ทลเนลไดโอดหรือไดโอดแบบอุโมงค์ (tunnel diode) และไดโอดฟื้นตัวแบบขั้น (step recovery diode : SRD) โดยทลเนลไดโอดเป็นอุปกรณ์ในยุคแรก ๆ ที่ใช้ในเครื่องรับส่งหรือวงจรกำเนิดสัญญาณของเทคโนโลยีการสื่อสารอัตราเร็วสูง ซึ่งการนำทลเนลไดโอดมาประยุกต์ใช้งานประเภทฟาสต์สวิตช์ประสบความสำเร็จอย่างมาก เนื่องจากทลเนลไดโอดต่างจากไดโอดธรรมดาตรงที่มีแรงดันและกระแสบางช่วงเป็นแบบต้านทานลบ และทลเนลไดโอดสามารถทำให้เกิดกระแสได้โดยใช้แรงดันไบแอสเพียงเล็กน้อยเท่านั้น ซึ่งต้องมีวิธีการกระตุ้นแบบพิเศษเพื่อช่วยให้อิเล็กตรอนสามารถเคลื่อนที่ข้ามรอยต่อ p-n ได้ ไม่เช่นนั้นพลังงานเพียงเล็กน้อยนี้จะไม่เพียงพอที่ทำให้อิเล็กตรอนสามารถเคลื่อนที่ข้ามรอยต่อ p-n ได้ และทันทีที่แรงดันสัณยมากกว่าจุดสูงสุดที่แสดงในรูปที่ 2.25 จะทำให้กระแสลดลงจนกระทั่งถึงจุดต่ำสุด เป็นสาเหตุให้เกิดการซ้อนเหลื่อมกันเล็กน้อยระหว่างแถบเวเลนซ์ (valence band) และแถบการนำ (conduction band) ซึ่งจะทำให้เกิดความต้านทานบริเวณลบขึ้นเนื่องจากการลดลงของกระแส และจากการเกิดความต้านทานบริเวณลบนี้ส่งผลให้ทลเนลไดโอดอยู่ในสถานะที่ไม่เสถียร ทำให้มีการสวิตช์ในช่วงหนึ่ง ซึ่งจะถูกระตุ้นด้วยแรงดันเพียงเล็กน้อยทำให้เกิดพัลส์แบบสี่เหลี่ยมขึ้น จากนั้นทำพัลส์ที่ได้นี้ให้เป็นเกาส์เซียนพัลส์โดยการใช้สายท่อนสั้นลัดวงจร (short circuit stub) ซึ่งจะได้แสดงรายละเอียดต่อไป



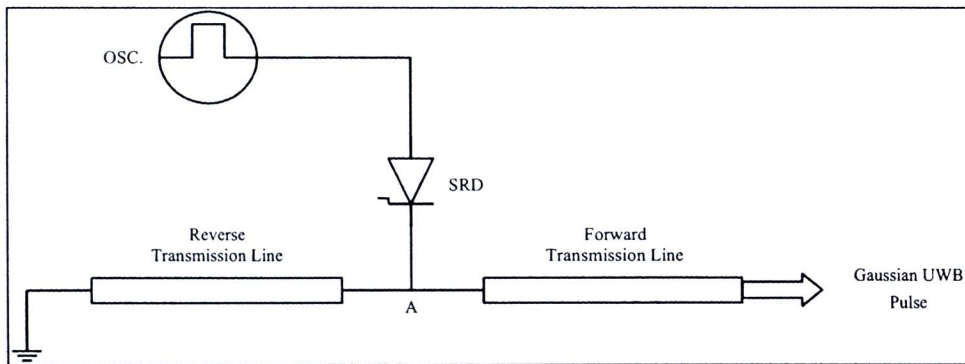
รูปที่ 2.25 กราฟคุณลักษณะของทลเนลไดโอด

อย่างไรก็ตามก่อนหน้านี้อัตนาลไดโอดดูเหมือนจะได้รับความสนใจมากกว่าทรานซิสเตอร์ เนื่องจากอัตนาลไดโอดมีคุณลักษณะเฉพาะของการสวิตซ์ และหลังจากปี 1960 แล้วไม่ค่อยมีผู้ให้ความสนใจในการผลิตอัตนาลไดโอดมากนัก โดยข้อเสียของอัตนาลไดโอด คือ มีอิมพีแดนซ์ต่ำ ให้แรงดันด้านออกต่ำ และมีจุดเชื่อมต่อเพียงแค่สองจุด ซึ่งวิศวกรส่วนใหญ่ไม่มีประสบการณ์หรือความชำนาญในการออกแบบวงจรขยายสัญญาณด้วยอุปกรณ์ในลักษณะนี้ แต่จะให้ความสนใจกับหลอดสุญญากาศและทรานซิสเตอร์มากกว่าเนื่องจากมีจุดเชื่อมต่อสามจุด ซึ่งจะช่วยให้การออกแบบวงจรขยายสัญญาณง่ายขึ้น จึงไม่มีใครสนใจที่จะนำอัตนาลไดโอดมาออกแบบวงจรอื่น ๆ และสุดท้ายจะเห็นเพียงแค่การนำอัตนาลไดโอดมาใช้งานเฉพาะการกำเนิดสัญญาณพัลส์เท่านั้น จึงทำให้ผู้ผลิตลดปริมาณการผลิตของอัตนาลไดโอดลง ส่งผลให้การหาซื้ออัตนาลไดโอดยากขึ้นในปัจจุบัน

หลังจากที่อัตนาลไดโอดไม่ค่อยได้รับความสนใจมากนักจากผู้ใช้และเริ่มหาซื้อได้ยากตามท้องตลาด ได้มีอุปกรณ์อีกชนิดหนึ่งที่ได้ออกมาแล้วข้างต้น ได้เข้ามามีบทบาทอย่างมากสำหรับใช้เป็นตัวกำเนิดสัญญาณพัลส์สำหรับเทคโนโลยีการสื่อสารอัลตราไวด์แบนด์นั่นก็คือ ทรานซิสเตอร์และไดโอดพื้นตัวแบบซัน หรือที่เรียกว่า SRD ไดโอด ซึ่งต่อจากนี้ขอใช้คำว่า SRD ไดโอด โดย SRD ไดโอด มีการเก็บประจุด้วยการควบคุมสวิตซ์ที่รอยต่อแบบ p-i-n และมีคุณลักษณะของการสวิตซ์ที่รวดเร็วกว่าการประจุด้วยรอยต่อแบบ p-n ซึ่งจะมีประจุปริมาณมากถูกสร้างขึ้นที่บริเวณรอยต่อนี้เป็นผลทำให้พาหะส่วนน้อยแทรกเข้าไปในระหว่างที่ SRD ไดโอด มีสถานะถูกไบแอสตรง โดยอิมพีแดนซ์บริเวณรอยต่อขึ้นอยู่กับ การเก็บประจุอย่างทันทีทันใดของไดโอด และสามารถทำให้เกิดพัลส์ได้ในเวลาอันรวดเร็ว ซึ่งถ้า SRD ไดโอด ได้รับการไบแอสตรงแล้วจะเกิดการไบแอสกลับอย่างรวดเร็ว ซึ่งทำให้ไดโอดมีอิมพีแดนซ์ลดต่ำลงจนกระทั่งประจุที่ถูกเก็บไว้บริเวณรอยต่อหมดสิ้นไป จากนั้นไดโอดจะกลับสู่สถานะที่มีอิมพีแดนซ์สูงทันที ซึ่งจำเป็นสำหรับการหยุดกระแสย้อนกลับของ SRD ไดโอด และการเปลี่ยนสถานะของอิมพีแดนซ์นี้ ก่อนที่กระแสภายในของ SRD ไดโอด หมดไปจะทำให้เกิดสัญญาณแรงดันสูงสุดขึ้น ซึ่งช่วงเวลาของการเปลี่ยนสถานะที่ปรากฏขึ้นนี้จะถูกเรียกว่า “snap time” โดยค่า snap time นี้จะใช้ระบุคุณลักษณะของ SRD ไดโอด โดยทั่วไปแล้วค่า snap time ในช่วง 30 ถึง 250 พิโกวินาที จะทำให้ SRD ไดโอด สามารถกำเนิดสัญญาณพัลส์ด้วยความกว้างของพัลส์ระดับพิโกวินาทีได้ และมีช่วงเวลาคงอยู่คลื่นพาหะ (carrier lifetime) ในช่วง 5 ถึง 15 นาโนวินาที ซึ่งทำให้เกิดความถี่การซ้ำของพัลส์สำหรับเครื่องรับส่งของเทคโนโลยีการสื่อสารอัลตราไวด์แบนด์ถูกจำกัดอยู่ในช่วง 100 ถึง 200 เมกะพัลส์ต่อวินาที ซึ่งอาจจะเพียงพอหรือไม่เพียงพอสำหรับเทคโนโลยีการสื่อสารข้อมูลความเร็วสูงด้วยสัญญาณอิมพัลส์

เมื่อพิจารณาการเกิดพัลส์ด้วย SRD ไดโอด จากข้อมูลที่ได้กล่าวมาแล้วข้างต้นนั้นพบว่าพัลส์ที่ได้จาก SRD ไดโอด นั้นมีรูปร่างลาดเอียงแทนที่จะเป็นพัลส์แบบเกาส์เซียนตามต้องการ แต่สามารถปรับปรุงพัลส์ที่ได้จาก SRD ไดโอด ให้มีรูปร่างของพัลส์เป็นพัลส์แบบเกาส์เซียนได้โดย

ประยุกต์ใช้ SRD ไดโอด ร่วมกับการส่งผ่านสายประวิง (transmission delay line) ซึ่งมีโครงสร้างพื้นฐานของวงจรดังแสดงในรูปที่ 2.26 โดยพัลส์ที่เกิดจาก SRD ไดโอด จะถูกแยกออก ณ จุด A จากนั้นพัลส์จะเดินทางผ่านสายส่งย้อนกลับ (reverse transmission line) และแพร่กระจายผ่านสายส่งไปหน้า (forward transmission line) ซึ่งพัลส์ที่มาจาก SRD ไดโอด เคลื่อนที่ไปยังสายส่งย้อนกลับสะท้อนจากสายท่อนสั้น (stub) และแปลงผันเป็นพัลส์ที่ถูกประวิงโดยมีสภาพขั้วตรงข้ามกันเนื่องจากสัมประสิทธิ์การสะท้อนแบบลบของวงจรลัด ส่วนที่สายส่งไปหน้าจะมีพัลส์สองพัลส์รวมกันทำให้เกิดพัลส์ที่มีลักษณะแบบเกาส์เซียน และจากรูปที่ 2.26 เมื่อแทน SRD ไดโอดด้วยทลเนลไดโอดแล้วสามารถได้พัลส์ที่มีรูปร่างสัญญาณออกมาเช่นเดียวกัน



รูปที่ 2.26 โครงสร้างพื้นฐานการกำเนิดพัลส์ด้วย SRD ไดโอด (Alexandre, Yvan, Tan, Ewerton, and Glauco, 2006)

โดยความกว้างของพัลส์กำหนดด้วยความยาวของสายส่งลัดวงจร ซึ่งสามารถวิเคราะห์และคำนวณได้ดังสมการที่ (2.45)

$$\tau = \frac{2L_d}{v_p}$$



(2.45)

เมื่อ  $L_d$  คือความยาวของสายส่งย้อนกลับ (มีหน่วยเป็นเมตร) และ  $v_p$  คือความเร็วเฟสระหว่างสายส่งย้อนกลับ (มีหน่วยเป็นเมตรต่อวินาที) ซึ่งความเร็วเฟสระหว่างสายส่งไมโครสตริปสามารถคำนวณได้จากสมการที่ (2.46)

$$v_p = \frac{c}{\sqrt{\epsilon_e}} \quad (2.46)$$

โดยที่  $c$  คือความเร็วแสง (มีหน่วยเป็นเมตรต่อวินาที) และ  $\epsilon_e$  คือค่าคงที่สภาพยอมประสิทธิผลของไมโครสตริป ซึ่งค่าคงที่สภาพยอมประสิทธิผลนี้เป็นค่าเอกพันธ์สมมูลระหว่างอากาศและชั้นสเตรตของไมโครสตริป สามารถคำนวณได้จากสมการที่ (2.47)

$$\epsilon_e = \frac{\epsilon_r + 1}{2} + \frac{\epsilon_r - 1}{2} \left( \frac{1}{\sqrt{1 + \frac{12d}{w}}} \right) \quad (2.47)$$

เมื่อ  $\epsilon_r$  คือค่าคงที่สภาพยอมสัมพัทธ์ชั้นสเตรตของไมโครสตริป  $d$  คือความหนาของชั้นสเตรต (มีหน่วยเป็นเมตร) และ  $w$  คือความกว้างของสายส่งไมโครสตริป (มีหน่วยเป็นเมตร) โดยสามารถยกตัวอย่างการคำนวณความกว้างของพัลส์ จากสมการข้างต้นได้ และสมมติว่าเลือกใช้แผ่น PCB แบบ FR-4 มีค่าคงที่สภาพยอมสัมพัทธ์ชั้นสเตรตของไมโครสตริปเท่ากับ 4.6 ชั้นสเตรตของไมโครสตริปมีความหนา 7.2 มิลลิเมตร และสายส่งสัญญาณกว้าง 12 มิลลิเมตร ซึ่งความเร็วเฟสระหว่างสายส่งย้อนกลับ และค่าคงที่สภาพยอมประสิทธิผลของไมโครสตริปสามารถคำนวณได้จากสมการที่ (2.46) และสมการที่ (2.47) ตามลำดับ โดยกำหนดให้สายส่งมีความยาว 1 นิ้ว เมื่อใช้การคำนวณจากสมการที่ (2.45) ถึง (2.47) จะได้พัลส์ที่มีความกว้างเท่ากับ 315 พิโกวินาที

สำหรับการออกแบบระบบส่วนมากจะมีการกำหนดความกว้างของพัลส์ไว้ก่อนแล้ว แต่จะมีการคำนวณหาความยาวของสายส่ง และนำไปสู่การออกแบบวงจรกำเนิดสัญญาณพัลส์ได้ดังแสดงตัวอย่างในรูปที่ 2.26 โดยหลังจากการออกแบบเสร็จเมื่อนำไปประยุกต์ใช้งานจริงแล้วส่วนมากจะมีการผิดเพี้ยนของสัญญาณเกิดขึ้น นอกจากนี้ยังพบว่ามีการแกว่งของสัญญาณพัลส์มากเกินไป เนื่องจากพัลส์มีช่วงเวลานับลงเร็วมากและเกิดจากผลกระทบของอุปกรณ์ข้างเคียงด้วย ซึ่งปัญหาเหล่านี้สามารถแก้ไขได้โดยจะกล่าวถึงรายละเอียดต่าง ๆ ในบทต่อไป

## 2.10 สรุป

สำหรับการออกแบบระบบการสื่อสารอัลตราไวด์แบนด์นั้นสิ่งสำคัญของเทคโนโลยีนี้คือสายอากาศแบนด์กว้างและวงจรกำเนิดสัญญาณพัลส์ เนื่องจากสิ่งที่ถือว่าทำลายมากที่สุดของการศึกษาเกี่ยวกับเทคโนโลยีการสื่อสารอัลตราไวด์แบนด์ คือการออกแบบสายอากาศแบนด์กว้าง

และเทคนิควิธีการกำเนิดสัญญาณพัลส์ ซึ่งจำเป็นอย่างยิ่งที่จะต้องเรียนรู้และทำความเข้าใจเกี่ยวกับประวัติความเป็นมาของการนำเทคโนโลยีอัลตราไวด์แบนด์มาใช้งาน โครงสร้างของเทคโนโลยีอัลตราไวด์แบนด์ ตลอดจนกระบวนการในการวิเคราะห์สัญญาณ รูปแบบของสัญญาณที่สามารถนำมาใช้กับเทคโนโลยีการสื่อสารอัลตราไวด์แบนด์ และหลักการทฤษฎีของการกำเนิดสัญญาณที่ต้องการนำมาใช้ นอกจากนี้แล้วยังมีส่วนของสายอากาศอีกส่วนหนึ่งที่เป็นสำหรับเทคโนโลยีอัลตราไวด์แบนด์ เนื่องจากสายอากาศที่นำมาใช้กับเทคโนโลยีการสื่อสารอัลตราไวด์แบนด์ได้นั้น จะต้องเป็นสายอากาศแบนด์กว้าง ซึ่งการได้มาของสายอากาศแบบแบนด์กว้างนั้นจำเป็นต้องมีการศึกษาหลักการและเทคนิควิธีต่าง ๆ เพื่อให้ได้สายอากาศที่มีคุณลักษณะตามข้อกำหนดของ FCC โดยใช้หลักการพื้นฐานสำหรับการวิเคราะห์คุณลักษณะของสายอากาศคือ ค่าการสูญเสีย เนื่องจากการย้อนกลับ ความกว้างแถบ อัตราการขยาย และแบบรูปการแผ่กระจายพลังงาน ซึ่งหลักการและทฤษฎีพื้นฐานต่าง ๆ ที่ได้กล่าวไว้ในบทนี้จะได้ใช้สำหรับการออกแบบสายอากาศและวงจรกำเนิดสัญญาณพัลส์ เพื่อนำไปประยุกต์ใช้งานกับเทคโนโลยีอัลตราไวด์แบนด์ต่อไป